



MIEŚIĘCZNIK

RADIO

DLA TECHNIKÓW I AMATORÓW

RCK II

PAŹDZIERNIK 1947 R.

NR 10

BIURO WYDAWNICTW POLSKIEGO RADIA

cena 60 zł

TREŚĆ NUMERU:

1. Z kraju i zagranicy.
2. Stabilizowanie zasilaczy.
3. Magnetyczny zapis dźwięku.
4. Przegląd schematów.
5. Lampy wzmacniające z wtórną emisją elektronów.
6. Lampy serii... 11 (usupalnienie) oraz lampy „pocztowe” (komunikacyjne).
7. Kąci krótkofalowca.
8. Wykaz lamp do odbiorców firmy Sien-punkt.
9. Tarcza stroboskopowa.

CZYTAJCIE TYGODNIK

»RADIO i ŚWIAT«

R.
Po
dfo
w p
ok
lów
Ok
skię
nic
Po
radia
(H
nad
wog
M)
cif, p
diem
nych
Ud
dzia
ię Zw

N
Po
Zwłap
realne
1 lu
Deleg
członk
gmin
dalsze
dzie:
Pres
Wit
wenta.
Seko
Skon
W z
dzono
gram p
ca z

R A D I O

Miesięcznik dla techników i amatorów

Rok II

Październik 1947

Nr 10

Z KRAJU I ZAGRANICY

RADIOFONIA PRZEWODOWA W R. 1948

Podkreślając wielkie znaczenie rozwoju radiofonii przewodowej, Polskie Radio przewiduje w planie na rok 1948 osiągnięcie ogólnej ilości około 360.000 głośników zasilanych z radiowęzłów i urządzeń zbiorowych.

Okolo 50% planu poświęcone będzie wsi polskiej, której radiofoniczność jest obecnie zasadniczym zagadnieniem Dyrekcji Polskiego Radia.

Poza tym wzorując się na doświadczeniach radiofonii przewodowej w krajach zachodnich (Holandia, Anglia) przeprowadzone będą prace nad wprowadzeniem systemu wieloprogramowego w większych miastach.

Młodzież, rozumiejąc znaczenie radiofoniczności, przystąpiła do współpracy z Polskim Radiem i po przeszkoleniu w miastach wiosennych przystąpi do czynnej akcji w porze letniej.

Udział do tej akcji zgłosiły organizacje młodzieżowe Z.W.M., O.M. TUR, oraz na wielką skalę Związek Harcerstwa Polskiego.

KRÓTKOFALARSTWO POLSKIE NA NOWYCH DROGACH ROZWOJU

Po roku trudności organizacyjnych, Polskie Związki krótkofalowców otrzymał wreszcie realne podstawy dalszego rozwoju.

1 lutego odbył się w Warszawie Walny Zjazd Delegatów P. Z. K., reprezentujący około 400 członków, na którym Tymczasowy Komitet Organizacyjny po roku ewolucji prasy, powierzył dalsze losy Związku nowemu zarządowi w składzie:

Prezes ob. dyr. Zarnecki.
Wiceprezes ob. ob. dyr. Młynarski i mjr. Pawenta.

Sekretarz ob. mjr. Jegliński.
Skarbnik ob. inż. Brodzicki.

W zmianach statutowych Związku, wprowadzono nowy punkt określający zasadniczy program pracy P. Z. K. a mianowicie: „Współpraca z władzami Wojska Polskiego w zakresie

przygotowania młodzieży w wieku przedpoborowym do służby w oddziałach radiowych armii, utrzymanie rezerwistów radio-telegrafistów, radimechaników w stałej sprawności, oraz przysposobienia kobiet i mężczyzn nie podlegających powołaniu, obowiązkiem wojskowemu do służby w obronie kraju”.

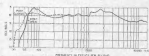
W związku z tym programem, wysunięto projekt utworzenia Okręgów P. Z. K. w siedzibach D. O. W.

Na zakończenie zjazdu w uchwalonej rezolucji zwrócono się z prośbą o przyjęcie protektoratu nad P. Z. K. do ob. ob.:

1. Wiceministra Obrony Narodowej Gen. Dyr. inż. M. Sychalskiego.
2. Ministra Komunikacji J. Rabanowskiego.
3. Ministra Poczty i Telegrafów prof. Szynarskiego.
4. Wiceministra Przemysłu inż. Golańskiego.
5. Dyr. Naczelny P. Radia W. Billiga.
6. Prof. Politechniki Warsz. J. Grodzkowskiego.

NOWOCZESNE GŁOSNIKI DLA ODBIORNIKÓW P. M.

Dzięki wprowadzeniu modulacji częstotliwości, przekazywanie audycji w zakresie od 50kc do 15000kc nie przedstawia dzisiaj specjalnej trudności. Dla pełnego wykorzystania tej możliwości



powstała konieczność skonstruowania takiego głośnika, który oddałby wiernie wszystkie efekty akustyczne, zawierające się w górnych zakresach częstotliwości.

Normalne głośniki oddają równomiernie najwyżej do 5000 — 6000 c/s. Ostatnio produkuje się zespoły głośników wysoko i nisko-tonowych, których charakterystyka wypadkowa obejmuje i zakres wyższych częstotliwości.

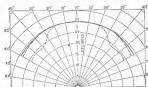
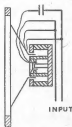


Fig. 2.
DIRECTIONAL CHARACTERISTICS
OF A TYPICAL LC-16
SPEAKER IN CABINET

Rys. 2.

Wśród tych rozwiązań na uwagę zasługuje głośnik firmy RCA, skonstruowany przez znanego badacza na polu elektroakustyki, Dr. H. Olsona. Głośnik tego typu oddaje równomiernie wszystkie częstotliwości w zakresie od 50 c/s — 15000 c/s (rys. 1), zachowując równomierną charakterystykę promieniowania w kącie ok. 130° (rys. 2).

Rys. 3 przedstawia przekrój głośnika; jak widać składa się on jakby z dwu głośników skonstruowanych koncentrycznie. System dla zakresu tonów niskich posiada membranę o średnicy 38 cm o węższej cienkiej cewce drgającej.



Rys. 3.

Częstotliwość rezonansowa wynosi 35 c/s i dzięki temu głośnik odtwarza z b. małymi zniekształceniami w zakresie częstotliwości użytkowych (rys. 4).

W normalnych głośnikach zniekształcenia na najniższych częstotliwościach dochodzą do 40 %.

System dla wysokich tonów posiada membranę o średnicy 5 cm i uszowiejście z drutu aluminiowego. W ten sposób, dzięki małej masie, silnemu magnesowi i dobru do odpowiedniego kąta membrany niskotonowej, uzyskano dogodną charakterystykę promieniowania. Głośnik wbudowano w skrzynkę zaopatrzoną w specjalną klapę, przy pomocy której można dodatkowo podnieść ton niskie (rys. 1 linia ciągła).

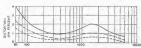


Fig. 4.
HARMONIC DISTORTION OF A TYPICAL LC-16
SPEAKER IN CABINET

Rys. 4.

CZY ISTNIEJE POTRZEBA PRZEKAZYWANIA CZĘSTOTLIWOŚCI POWYŻEJ 5000 c/s?

Na to pytanie starał się znaleźć odpowiedź Dr. H. Olson w laboratorium RCA w Princeton.

W pomieszczeniu, będącym odpowiednikiem przeciętnego pokoju mieszkalnego, o czasie pogłosu ok. 0,8 sek., umieszczył w jednym kącie mały zespół orkiestrowy (5 osób) (rys. 1) w przeciwnym kącie posiadał zasłonięty był filtr akustyczny (obracane klapy), który tłumiał częstotliwości powyżej 5000 c/s (ok. 30 — 40 db.). Przy pomocy specjalnej dźwigni można było filtr załączyć (klapy przysunąć) względnie wyłączyć (klapy otworzyć) (rys. 2).

Orkiestra wykonywała dwa utwory muzyki lekkiej, przy czym co 15 sekund włączano



Rys. 1.

względnie wyłączano filtr akustyczny, zasłonięty przed słuchaczami cienką zasłoną. Specjalny wskaźnik określał zmianę warunków (czyli: widział bez ornamentu czy filtr zasłonięty czy też nie). Słuchacze mieli określić w jakich warunkach audycja bardziej im odpowiada. W ten

spowod
różny
okolo
nym
do 50

Cie
nałwa
z płyt
w 60
wości

JAK

Dei
wzyl
dzien
a nas
trudn
zapad
Mia
nadaw
go sil
wojny

Rys. 1. S
trazny w
wzrost
i obok
dwie ka
dajak
słuchac
dusza o

sposób przeprowadzono próby z około 1000 osób różnych grup społecznych, w wyniku których około 70% wypowiedziało się za muzyką w pełnym zakresie częstotliwości, a 30% za muzyką do 5000 ckh.



Rys. 2.

Oczekuje, że młodzież w latach 14—20, to jest najbardziej słuchająca muzyki przez radio czy z płyt gramofonowych, opowiedziało się tylko w 60% za muzyką w pełnym zakresie częstotliwości.

JAK PRZEPROWADZA SIĘ TRANSMISJĘ TELEWIZYJNĄ W AMERYCE.

Defekty konstruowania nowej kamery telewizyjnej z lampą Imago Orthicon, przeprowadzenie transmisji na wolnym powietrzu w dzień a nawet o zmroku, nie przedstawia żadnych trudności (zupnie dobra obraz przy świetle zapalki).

Mieć już oczy, gdy „audycja” telewizyjna nadawana być mogła tylko ze studia oświetlanego silnymi lampami łukowymi, zaś audycje na wolnym powietrzu przekazywane były drogą po-

średnią, t. j. obraz filmowano, wywoływano, suzione i analizowano przy pomocy tarczy Nipkowskiej. Opóźnienie wynikało w takich warunkach zredukowano do kilku minut, jednak sama transmisja była bardzo skomplikowana, kosztowna, a przy tym nie nadzwyczajnej jakości. Dalej transmisja zewnętrzna stanowiła poważny procent programu, ze względu zarówno na stosunkowo małe koszty takich „audycji”, w porównaniu z przygotowaniem audycji ze studia, jak i ze względu na atrakcyjność programu (apert, uroczystości itp.).

Tak np. w roku 1946 w okresie od lipca do grudnia stacja NBC w Nowym Jorku nadała ogółem 130 transmisji w czasie 320 godzin. Dla tych celów firma RCA wykonała samochód wyposażony w całkowicie aparaturę telewizyjną łącznie z dwiema kamerami, urządzeniami kontrolnymi i nadajnikiem ultrakrótkofalowym. (Rys. 1).

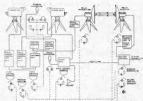
Normalny skład ekipy transmisyjnej przedstawia się następująco:

- 1) inżynier ogólny programu, odpowiadający za całość i kierujący transmisją.
- 2) inżynier, przekazujący program z jednej kamery na drugą i kierujący ekipą techników obsługujących kamery telewizyjne.
- 3) inżynier kontrolujący i regulujący jasność i kontrastowość obrazu.
- 4) inżynier kontrolujący jakość i miksujący foniczny strumień transmisji.
- 5) dwóch techników obsługujących kamery telewizyjne.
- 6) dwóch techników dla pomocy w transmisji.
- 7) os. technik do obsługi nadajnika ultrakrótkofalowego.

Ogólny skład rezerwowania ekipy transmisyjnej przedstawia rys. 2.



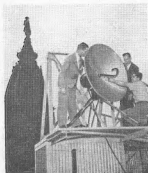
Rys. 1. Samochód zaparkowany z aparaturą telewizyjną. Na samochodzie widoczne dwie kamery, oraz nadajnik z reflektorem anteny. Wewnątrz samochodu obsługa kontrolująca.



Rys. 2. Schemat zestawienia ekipy transmisyjnej.



Rys. 4. Kamera telewizyjna z tarczą obrotową z 4-ema obiektywami.



Rys. 3. Stacja przekądnierowa umieszczona na dachu gm. chmur.

Jak więc widzimy program telewizyjny przetwarzany jest do stacji względnie amplifikatorami przy pomocy kablem ow. przy pomocy nadajników zaopatrzonych w reflektory paraboliczne.

Oczywiście w tym przypadku stacja odbiorcza znajdować się musi w polu zasięgu optycznego (najczęściej umieszczona jest na dachu gm. chmur). Kamera telewizyjna zaopatrzona jest w tarczę obrotową, posiadającą cztery obiektywy z ogniskową od 50 do 220 względnie 610 mm. W ten sposób przy pomocy ekipy zaopatrzonych w dwie kamery posiada się 8 możliwości transmisji z odległości od kilku do ponad 100 m.

Samochód transmisyjny jest równocześnie kabiną kontrolną. W tylnej części wozu znajduje się stół z urządzeniami do kontroli i regulacji jakości obrazu, jasności itp. wg schematu na rys. 2. Dwie kamery połączone są z kabiną kontrolną kablami o długości do 300 m. Sześć wewnętrzny samochodu przedstawia rys. 6.

Poza pomieszczeniem kontrolnym (widok na rys. 7) znajdują się schowki dla kamer i nadajników wraz z reflektorami.

Rys. 5. Widok wewnętrzny kamery telewizyjnej. Z prawej strony widok obiektywu, z lewej widok dla kontroli obrazu.

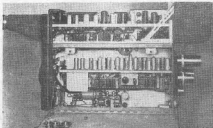




Рис. 6. Наил. западный изолуч

Najtrudniejszym problemem w wozach tramwajowych jest retrowizyjne zasilanie. Jak wiadomo dla uniknięcia wpływu przepięcia sieci na jakość obrazu w odborniku, generator w kamery telewizyjnej, określający ilość przekazy-



Rys. 7. Pomiarowa kontrola

wanych obrazów na sekundę, jest synchronizowa-
wany częstotliwością sieci i dzięki temu wszystkie
kadrówki są na ekranie nieruchome. Dzięki
to na ogół korzysta się z zasilania z sieci, a w
wyjątkowych wypadkach z oddzielnego genera-
tora.



Rys. 8. Telewizja z mocną przesłuchową

amplifikatorni odbywa się za pomocą specjalnej linii kablowej względnie za pomocą nadajników ultrakrótkofalowych skupionych w antenie paraboliczną.

Jedną pomogłą miejscem transmisji a amplifikatoru nie ma bezpośredniej widoczności stowaje się dodatkową stację przeludniczą mieszczącą w miejscu widocznym zarówno z amplifikatoru jak i z wozu transmisyjnego. Nadajnik wraz z anteną paraboliczną tworzy jedną całość (rys. 3); zasięg przy pomocy reflektora o średnicy ok. 130 cm wynosi około 45 km. Przy częstotliwości nośnej około 7000 Mc/s (fa- la rzędu 4 cm.) anteny dają wzmacnienie ok. kil- ku tysięcy razy, co nadajnik o mocy 100 mW jest równoważny nadajnikowi 500 W z anteną o rów- noważnej charakterystyce promieniowania. Dzięki tak skonstruowanej węższej wydymio- wanej się odbicia np. od budynków, które mogły by zniekształcić obraz.

W. Kiryluk
(London)

Stabilizowanie zasilaczy

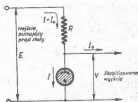
Zasilacze, niezależnie od zmian w ich obciążeniu lub w ich zasilaniu, stały się ostatnio pożądaną jednostką dobrze zaprogramowanego sprzętu komunikacyjnego. Poniżej podaję kilka dostępnych rozwiązań tego problemu. Ustabilizowany zasilacz jest szczególnie użyteczny tam, gdzie zachodzi potrzeba wyeliminowania regeneracji, dudnień w wielobobowych wzmacniaczach niskiej czułości i twardości i w ogóle wszędzie, gdzie chcemy zapobiec sprzężeniom między różnymi obwodami zasilanymi z tego samego źródła.

Neonówka²⁾ jako stabilizator napięcia.

• Jest to rozwiązanie proste i tanie, chociaż nie zawsze dostateczne. Niektóre neopolski używają

muszą stały sposób napięcia niezmienny w pewnych granicach od zmian prądu. Typowymi lampami (używamy) w Wielkiej Brytanii (U.S.A.) są lampy serii VR (voltage regulator): VR-7530, VR-90-30, VR-105-30, VR-150-30, 874, 876. Liczba przy „VR” oznacza stałe napięcie utrzymywane przez daną lampę i prąd max. symbolu.

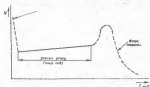
7) W polskich (zwłaszcza radiowych) ułata się zawze „neodowi” dla każdej lampy o zmiennej kolekcji i naprężonej grom, który nie zawsze jest niosom, lecz często argonem, helom lub ich mieszaniną, utwierdza-



Rys. 1. Typowy schemat używający neonówki do stabilizacji napięcia. Opór R ogranicza zadmierny prąd.

dajmy typowy układ stabilizatora z neonówką. Rys. 2 przedstawia greszniczną charakterystykę neonówki.

Jak widzimy, napięcie zapłonu jest o wiele wyższe niż napięcie podczas pracy. Gdy prąd płynący przez stabilizator zostanie zwiększony nadmiernie, napięcie wzrasta, po czym opada gwałtownie (krzywa kreskowa na rys. 2), a prąd zwiększa się do rzędu kilku amperów. Oczywiście po przepływie takiego prądu neonówka traci swe stabilizacyjne właściwości. Podczas normalnej pracy jonizacja wewnątrz lampy jest typu fardania, przy zbyt dużym prądzie lampa zaczyna się wydładowywać łukiem. Aby do tego stanu nie dopuścić, włączamy w szereg opór R



Rys. 2. Typowa charakterystyka neonówki. Krzywa kreskowana nie jest w skali z resztą wykresu i jest bardzo trudna do otrzymania, gdyż neonówki zachowują się różnie, gdy przewodzą nadmierny prąd.

(rys. 1), który ogranicza prąd płynący przez neonówkę. Wielkość oporu R możemy obliczyć ze wzoru: $R = \frac{E - V}{I + I_o}$

gdzie E — napięcie wejściowe,

V — napięcie podane przez wytwórnię na lampę (krzywa przy VR),

I — prąd przy jakim lampa pracuje zadowalająco (zwykle podany przez wytwórnię),

I_o — prąd obciążenia.

Jednostki w amp. voltach i omach.

Dla dobrej stabilizacji, wejściowe napięcie E musi być przynajmniej 50—100% wyższe, aniżeli napięcie stabilizowane. Gdy chcemy zwiększyć stabilizowane napięcie wyjściowe, łączymy więcej neonówek (tego samego typu) w szereg (Rys. 3).

Są firmy, które wyrabiają kilka neonówek w jednej bańce. Lampa taka posiada jedną katodę i kilka anod z odstępami. Gaz jest wspólny. Z lampy takiej możemy otrzymać różne napięcia. Nie należy łączyć neonówek równolegle, choć mogłoby się zdawać, że to „zwiększy prąd”. Łącząc neonówki równolegle mijamy się z celem.



Rys. 3. Przedstawia sposób zwiększenia napięcia stabilizowanego napięcia. Jest podobne, aby prąd płynący przez poszczególne neonówki (podany przez wytwórnię) był jednakowy. Ilość neonówek połączonych w szereg jest nieograniczona.



Rys. 4. Stabilizator z trzodą o wysokim napięciu. Stabilizuje zmiany w napięciu wejściowym. Nie kompensuje jednak wahań obciążenia.

Jedną z wad neonówek jest ich nieidentyczność. Lampy pozornie jednakowe, t.j. wykonane z tego samego materiału, produkowane w tym samym zakładzie i czasie, nie są identyczne. Zmiany w sieć (pomiędzy godzinami dużego obciążenia a np. nocy) mogą powodować wahania napięcia wyjściowego zasilacza (dostarczającego np. 200 V) około 5%.

Używając neonówki typu VR można te wahania ograniczyć do 60 miliwoltów, a używając typy VRI05 — do 5mV. Ta ostatnia pracuje najlepiej, gdy przepuszcza prąd około 15mA i jest najlepszym stabilizatorem z całej serii VR.

Stabilizator z trzodą o wysokim μ

Na rys. 4 widzimy taki stabilizator w najprostszej formie. Typu tego używamy, gdy chcemy skompensować wahania napięcia wejściowego, przy stałym obciążeniu.

Z definicji współczynnik wzmacnienia $\mu = \frac{\Delta E_o}{\Delta E_i}$

przy czym I_o pozostaje stałe;

gdzie ΔE_o — zmiana w napięciu anodowym (w tym wypadku wyjściowym),

μ — współczynnik wzmacnienia.

ΔE_s — zmiana w napięciu siatki,
 ΔE_w — zmiana w napięciu wejściowym,
 I_s — prąd anodowy.

Gdy wejściowe napięcie zmieni się o ΔE_w , wtedy:

$$\Delta E_s = \Delta E_w \cdot \left(\frac{R_2}{R_1 + R_2} \right)$$

i E_s zmieni się:

$$\Delta E_s = \Delta E_w \cdot \left(\frac{R_2}{R_1 + R_2} \right)$$

Dla stałego prądu anodowego I_s , spadek napięcia na R_2 musi być stały skąd:

$$\Delta E_s = \frac{\Delta E_w \cdot \left(\frac{R_2}{R_1 + R_2} \right)}{\Delta E_s \cdot \left(\frac{R_2}{R_1 + R_2} \right)} = R_2$$

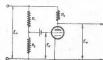
Z wyniku tego wnioskujemy, że jeśli $R_2 = \rho$,

to E_s (w tym wypadku napięcie wyjściowe obciążenia) pozostaje niezmienne tak długo, jak μ jest stałe.

Lampa najbardziej nadająca się w tym układzie powinna posiadać wysokie μ , stąd mały spadek napięcia na R_2 , co jest pożądanym z względów ekonomicznych (strata prądu z przelownika).

Stabilizator o wysokim gm

Ten typ stabilizatora (rys. 5), jak i poprzedni kompensuje zmiany w napięciu wejściowym przy stałym obciążeniu.



Rys. 5. Stabilizator przewodnościowy. Rezystor dostarcza odpowiednio przesłupkę siatki. Możliwość także inny rodzaj dostarczania przesłupki.

Z definicji przewodność lampy:

$$gm = \frac{\Delta I_s}{\Delta E_s}$$

przy czym $E_s = \text{const.}$ (Znaczenie symbolów jak poprzednio).

μ Przez gm w literaturze angielskiej oznacza się nachylenie charakterystyki (przewodność lampy). (U nas oznacza się literą β — w mA/V — przyp. red.).

Gdy napięcie wejściowe E_w zmienia się o ΔE_w , wtedy:

$$\Delta I_s = \frac{\Delta E_w}{R_2} + \Delta E_s \cdot \left(\frac{R_2}{R_1 + R_2} \right)$$

$$\text{lecz } gm = \frac{\Delta I_s}{\Delta E_s} = \frac{R_2}{\Delta E_s \cdot \left(\frac{R_2}{R_1 + R_2} \right)} = \frac{R_1 + R_2}{R_2 \cdot R_2}$$

Jak widzimy, aby układ ten działał prawidłowo

$$R_2 = \frac{R_1 + R_2}{R_2 \cdot gm}$$

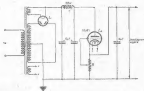
Opory $R_1 + R_2$ powinny być tak dobrane, aby pobierały 15% prądu wyjściowego, powodując kąt „regulacji wejściowej”. Opór R_2 powinien być tak dobrany, by niekrytyczne zmiany w E_w nie spowodowały siatki dodatniej.

Najlepiej do tego rodzaju stabilizatora nadają się lampy o wysokim nachyleniu (gm), skąd pożądanym minimalnym spadkiem napięcia na oporze R_2 .

Ostatnio omówione dwa typy stabilizatorów kompensują wahania w napięciu wejściowym przy stałym obciążeniu, czyli nie są idealnymi stabilizatorami. Aby otrzymać kompensację w zmianach obciążenia musimy użyć jednego z degeneracyjnych stabilizatorów.

Stabilizatory degeneracyjne.

Na rys. 6 znajduje się stabilizator degeneracyjny w swej najbardziej elementarnej formie.



Rys. 6. Degeneracyjny stabilizator kompensujący wahania w napięciu wejściowym i obciążeniu. Lampa nadająca się na L_1 powinna być typu wzmacniaczy mocy niskiej częstotliwości o niezbyt wysokim μ .

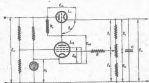
Umożliwia on kompensację wahań na wejściu i wyjściu (obciążeniu).

Lampa L_1 jest użyta jako wzmacniacz degeneracyjny. Zwiększenie napięcia wyjściowego spowodowane zmniejszeniem prądu obciążenia lub wzrostem napięcia wejściowego (siatki), po-

wodzące zwiększenia prądu przez R, co z kolei zwiększa ujemne przedpięcie na siatce L_2 i tym samym prąd anodowy zostaje zmniejszony. Jak widzimy, napięcie wyjściowe zmniejsza do swojej początkowej wielkości. Następuje kompensacja.

Lampa nadająca się na L_2 powinna być rodzaju wzmacniaczy mocy niskiej częstotliwości, jak 6L6 (w układzie triody), 6B4 lub 2A3 (W.B. i St. Zjedn.) o niskiej wysokości μ (od 6 do 10).

Opór R z rys. 6 może być zastąpiony wzmacniaczem o wysokim μ , przez co czułość całego układu wzrośnie. Taki właśnie schemat znajduje się na rys. 7.



Rys. 7. Czuły stabilizator degeneracyjny. Opór R (przy siatce L_2) chwyta do ewentualnego „wygaszenia” oscylacji L_2 . L_2 jest wzmacniaczem wielkiej częstotliwości o wysokim μ typu jak 6B4.

Układ z rys. 7 działa następująco: Przyjmijmy, że opór obciążenia zmniejszył się. Oczywiście jest, że prąd obciążenia wzrośnie, a napięcie E_0 opadnie. Lecz napięcie E_0 zmniejsza się także, czyli przedpięcie na siatce L_2 zwiększa się proporcjonalnie (stanie się bardziej ujemne). Prąd przez L_2 zmniejszy się. Napięcie na katodzie L_1 pozostanie jednak bez zmian, gdyż jest ustabilizowane szeregówką. Spadek napięcia na R, zmniejsza, czyli siatka L_2 stanie się mniej ujemna (bardziej dodatnio spolaryzowana). Prąd przez L_2 zwiększy się.

Wszystko to dzieje się błyskawicznie i kompensacja następuje bardzo szybko, zwiększony prąd obciążenia zostaje zrównoważony, czyli napięcie E_0 pozostaje bez zmiany.

Jak więc widzimy, wszelkie zmiany w obciążeniu (tak samo za wejścia sieci) nie posiadają wpływu na napięcie wyjściowe. Gdy jednak częstotliwość zmian w obciążeniu (lub w sieci) zaczyna wchodzić w zakres wyższych częstotliwości, szeregówka nie nadaje w ich wygładzeniu i napięcie katoda ziemia (L_2) zaczyna się zmieniać. Aby temu zapobiec, dodano kondensator C o dużej pojemności (rys. 7).

Jedyną wadą tego układu (z rys. 7) jest ograniczenie minimalnego napięcia wyjściowego E_0 , które nie może być mniejsze niż V_k . W wielu wypadkach możemy osiągnąć napięcia stabilizowane aż do zera.

Aby udowodnić, że E_0 nie może równać się zero układy równania:

$$E_0 = V_k - E_m - |E_c| = 0 \text{ lub } E_0 = V_k + E_m + |E_c|$$

gdzie E_m — napięcie wyjściowe obciążenia, V_k — spadek napięcia na neonówce, $|E_c|$ — absolutna wielkość przedpięcia na L_1 (siatka - katoda), E_m — spadek napięcia na L_2 .

Przyjmijmy, że E_0 może równać się zero, wtedy:

$$V_k + E_m + |E_c| = 0 \text{ lub } -E_m = V_k + E_m$$

lecz V_k jest stałe i równe jakemuś dodatniemu napięciu. W takim razie $|E_c|$ musi również być dodatnie, co jest niemożliwym warunkiem. Zatem najmniejsze napięcie wyjściowe, jakie możemy otrzymać, musi być zawsze trochę większe od V_k .

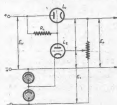
Można udowodnić, że to minimalne napięcie wyjściowe równa się:

$$E_{0 \text{ min}} = \frac{\mu_2 (V_k + E_m) + E_m}{\mu_1 + 1}$$

gdzie μ_1 — współczynnik wzmacnienia L_1 , E_m — napięcie wejściowe; (inne symbole, jak poprzednio).

Gdy chcemy otrzymać napięcie wyjściowe aż do zera, musimy użyć nieco innego systemu, który jest podobny trochę do poprzedniego (rys. 8).

W tym układzie musimy połączyć dwa odrębne zasilacze: jeden dla zasilania obciążenia, drugi dla dostarczenia odpowiedniego przedpięcia do stabilizatora. Jest to system droższy od poprzedniego. Sposób działania taki sam jak w poprzednim stabilizatorze. Tego typu stabilizator

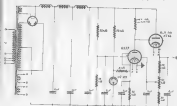


Rys. 8. Stabilizator degeneracyjny, którego wyjście może być zerowe, aż do zera. Dla uogólnienia czynnika L_2 narysowano jako triodę.

może mieć zastosowanie w laboratorium i wszędzie, gdzie potrzebne jest stałe napięcie od zera do maksimum.

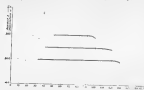
Praktyczny schemat stabilizatora degeneracyjnego.

Należy zaznaczyć, że ten stabilizator można przyłączyć sieci, który zawiera istniejące, nawet po bardzo dobrym filtrowaniu (rys. 9).



Rys. 8. Praktyczny schemat stabilizatora degeneracyjnego. Aby zwiększyć prąd wyjściowy, należy połączyć równolegle kilka lamp wyjściowych takiej konstrukcji.

Aby otrzymać np. 300 V maksymalnego napięcia stabilizowanego, napięcie wejściowe (z przetwornika) musi być około 2 razy większe (czyli 600 V), inaczej zakres prądu wyjściowego jest mały. Tak więc z uwzględnienia transformatora sieciowego powiększamy otrzymać około 1200 V prądu zmiennego (mierzone między anodami przetwornika). Dławiki powinny być około 20H, niekoniecznie muszą być użyte trzy.



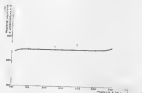
Rys. 10. Charakterystyka stabilizatora z rys. 9

Dobierając opory należy uważać, aby wszelkie napięcia na lampach były odpowiednie, przy czym lampa 6X4 nie powinna zostać „zatkana”, a siatka lampy wyjściowej nie powinna otrzymać dodatkowego przedpięcia.

Najlepiej używać oporników metalicznych, a dopiero po uruchomieniu stabilizatora i doboru odpowiednich wielkości zastąpić je opornikami stałymi, uprzednio zmierzając wartości oporników zmierzonych.

Wartości oporów podane w rys. 9 pozwoliły na prawidłowe działanie stabilizatora. Nie znaczą to, że trzeba tych wartości ściśle się trzymać, gdyż są one zależne od wielu czynników, jak rodzaj lamp, transformatora sieciowego, neonówki itp.

Z rys. 11 widzimy, że około 20% wahań sieci nie powoduje żadnej zmiany w napięciu wyjściowym. Z rys. 10 wynika, że stabilizator posiada zero oporności wewnętrznej w dużym zakresie prądu (wahania w obciążeniu). Gdy obciążymy stabilizator tak, że będzie dostarczał 30 mA i ustawimy wyjście na 200V, to napięcie to będzie utrzymywane aż do 120 mA. Dopiero potem zaczyna ono opadać. Jeśli zmniejszymy napięcie wyjściowe, zakres prądu wzrasta, natomiast maleje, jeśli napięcie zwiększymy, jednak moc pobrana w obu wypadkach jest jednakowa. Grajek lampy 6X4 jest uziemiony, zaś grajek 6L6 jest połączony z katodą, co zmusza do dobrego uziemowania punktów C i D (około 1000V prądu stałego na przebiegu). Wiele kondensatorów wydaje się zbędnych, używając je zwiększymy jednak stabilność stabilizatora. Sprawność tego układu przy pełnym obciążeniu wynosi około 20%.



Rys. 11. Zależność napięcia wyjściowego od napięcia sieci.

Na zakończenie chciałbym dodać, że stabilizator wykonany według rys. 9 oddaje nadzwyczajne usługi w laboratorium radiowym Northern Polytechnic w Londynie, gdzie też wszelkie pomiary i wykrośy wykonano.

Magnetyczny zapis dźwięku

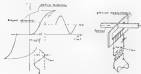
Próby wykorzystania działań magnetycznych do zapisu dźwięku rozpoczęła w roku 1898 duński fizyk Valdemar Poulsen. Metoda ta przecho-
dził kolejne formy rozwojowe, dając najpierw aparat do zapisu dźwięku na taśmie stalowej (taśma Silla'a) o zakresie częstotliwości od 50 do 4.000 cykli przy dynamice 35 decybeli tj. stosunku napięcia użytecznego do napięcia zakłóceń 60:1. Następnym etapem rozwojowym jest magnetofofon prądu stałego, zapisujący zakres częstotliwości od 50 do 5.500 c/s, dynamice 40 db (100:1) przy 10% zniekształceń dla 1.000 c/s. Kofrowe odtwarzacze stanowią magnetofofon wysokiej częstotliwości z zakresem od 30 do 10.000 c/s o dynamice 60 db (1.000:1) przy 1,5% zniekształceń dla 1.000 c/s.



Rys. 1. Proces nagrywania i odtwarzania.

Metoda zapisu magnetycznego polega na przesuwaniu materiału magnetycznego (drutu, taśmy stalowej lub magnetofofonowej) przed elektromagnesem, przez uzwojenia którego przepływają zmienne prądy elektryczne, odpowiadające mowie lub muzyce. (Rys. 1).

W takt tych prądów magnesuje się przesuwa-
ny materiał. Dla odtworzenia zapisanych sygna-
łów przesuwa się ponownie tak samomagnesowany materiał przed innym elektromagnesem, zwa-
nym głowicą odtwarzającą. Zmiany namagnesowań linii indukują w cewce głowicy odtwarzającej odpowiednie napięcia.



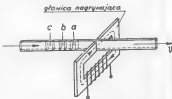
Rys. 2. (A) Krzywa magnetyzowania. (B) Układ nagrywający.

Metoda zapisu magnetycznego polega więc na zjawisku remanentu magnetycznego. Przebieg magnetyzowania taśmy możemy śledzić z charak-
terystryki magnetyzowania. Jeżeli poddamy dzia-

łaniu pola magnetycznego taśmę, która jeszcze nigdy nie była magnetyzowana, to wywołana w niej indukcja magnetyczna przebiega po krzywej dziewięć, magnetyzowania. (Rys. 2).

Warunkiem nieskończonego zapisu jest, aby między namiesionym na taśmę strumieniem magnetycznym lub indukcją B a wywołującym go natężeniem pola magnetycznego H, wzgl. prądem magnetyzującym istniała zależność prostoliniowa. Podobnie jak przy charakterystykach lamp radiowych, zapis dźwięku jest połączony tylko na prostoliniowej części krzywej magnetyzowania. Jeżeli więc używamy taśmę dziewięć, to aby dostać się na prostoliniową część charakterystyki musimy zastosować występną prąd magnetyzujący $I_{0.1}$. Jeżeli na tak dobrą ekwi-
walentną stałą prądu magnetyzującego nałożymy prąd magnetyzujący zmienny w granicach od $I_{0.1} + I_{max}$ do $I_{0.1} - I_{min}$, to namiesiony na taśmę strumień magnetyczny będzie proporcjonalny do zmian prądu modulującego.

Rozpatrzmy jak odbiega się magnetyzowanie poszczególnych elementów taśmy „a”, „b”, „c”, itd., które kolejno, według tego jak taśma prze-
suwa się, wchodzi w szczelinę głowicy nagryw-
wającej. (Rys. 3).



Rys. 3. Kolejne magnesowanie elementów taśmy.

W szczelinie głowicy natężenie pola magnetycznego H jest zależne od chwilowych wartości prądu płynącego przez uzwojenie elektromagnesu. Elektromagnes wykonany jest tak, aby przy $I_{0.1} = 0$, $H = 0$, czyli aby nie wykazywał żadnego magnetyzmu szeregowego.

Celem uzyskania jak najmniej szkodliwych remanentów magnetycznych rdzenia głowicy nagrywającej, stosuje się pierścienie ze stopów o dużej przenikalności magnetycznej, a małej koercji, ze szczelną powłoką.

Dla przykładu rys. 4 przedstawia krzywą magnetyzowania pierścienia zamkniętego z izopermu I, oraz krzywą magnetyzowania rdzenia

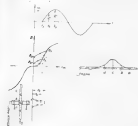
zamkniętego ze stopu, o wysokiej przenikalności magnetycznej.

Jeżeli wykonamy to same pierścienie ze szczeliny powietrznej, to, aby otrzymać to samo B_r ,



Rys. 4. Remanent magnetyczna, zamkniętych pierścieni, zamkniętych i ze szczeliną powietrzną z imporem (L, T) oraz z materiału o wysoki-
kimi: $\mu = 10^4, 10^5$.

musi się przy obu pierścieniach zwiększyć natężenie pola magnetycznego o 11. Okazuje się, że wtedy remanent magnetyczny słupów o dużym μ , przy rdzeniach otwartych jest bardzo mały. Widzimy, że B_{re} jest dużo mniejsze od B_r . Zakładamy jeszcze, że szybkość przesuwu taśmy jest taka, że każdy element taśmy przebywa w polu szczeliny bardzo krótko w porównaniu z czasem trwania cyklu prądu magnesującego. Element taśmy dławicowej, tj. taśmy, która nigdy nie była magnesowana, zbliżając się do szczeliny, podlega magnesowaniu wg krzywej dławicowej w narastającym polu. Wiekść taśm tego pola zależą będzie od chwilowej wartości prądu magnesującego. Np. dla momentu czasowego prądu magnesującego tj. odcinek taśmy „a” przechodzi przez szczelinę nie-magnesowaną.

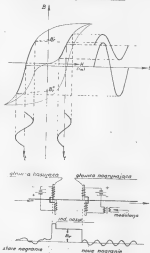


Rys. 5. Przebieg magnetyzacji poszczególnych elementów taśmy.

W momencie czasowym t_1 w szczelinie występuje natężenie pola H_1 . Odcinek taśmy „b”, zbliżając się wtedy do szczeliny, magnesowany po krzywej dławicowej w rosnącym polu, osiąga w szczelinie największą wartość indukcji magnetycznej B_1 . Oddalając się od szczeliny, element taśmy „b” przechodzi przez coraz słabsze pole magnetyczne i wychodzi z pola oddziaływania z indukcją remanentu B_r . I tak kolejno: w cza-

smie t_2 odcinek „c” wyjdzie z pola oddziaływania z indukcją remanentu B_r , itd.

Ponieważ nanoszenie stanu magnetycznego szczeliny na taśmę odbywa się w sposób ciągły, otrzymamy na niej krzywą przebiegu indukcji remanentu. Przebieg w tym wypadku (Rys. 5) będzie odbiegał od sinusoidy. Niesinusoidalny strumień magnetyczny wyindukuje w głowicy odgrywającej niesinusoidalne napięcie, zatem nie uzyskamy wiernego odwzorowania.



Rys. 6a, b. Normalny układ kaulujący i zagrywający.

Dla nieskłaśnianego zapisu konieczna więc jest praca na prostoliniowych odcinkach krzywej magnesowania. Mamy dwa takie odcinki: jeden wspomniany już, stosunkowo krótki, na dziewiątej krzywej, drugi na krzywej histerezy (Rys. 6). Ponieważ drugi odcinek jest dłuższy, zapewnimy nam nasłuchanie dużych strumieni magnetycznych zagrywanych, a zatem większą dynamikę.

Normalnie wykorzystuje się ten odcinek piątej histerezy do nagrań przy taśmach stalowych i magnetofofonach prądu stałego.

Aby pracować na tym odcinku przesuwamy taśmę przed elektromagnesem, tak zwaną glo-

wiąć kasującą, który magnesuje taśmę, kasując poprzedni jej stan magnetyczny (poprzednie nagranie), aż do nasycenia. Po wyjściu z sekcji głowicy kasującej taśma posiadaby stały remanent magnetyczny B_r. Na prostoliniowy odcinek charakterystyki magnesowania sprowadza pole stałe głowicy nagrywającej. Na pole to nałożone zostaje dopiero właściwe pole modulujące. Naniesiony teraz na taśmę strumień ma przebieg sinusoidalny, wywołuje więc w głowicy odtwarzającej sinusoidalną SEM.

Proces odtwarzania nagrania taśmy po leży na przesunięciu jej przed głowicą odtwarzającą. Naniesione na taśmę linie indukcji magnetycznej wykazują się odpowiednio do częstotliwości i amplitudy naniesionych dźwięków. Załóżmy, że tony o różnej częstotliwości zostały zapisane z tą samą amplitudą indukcji magnetycznej. Gdy taśma ma większą prędkość odtwarzającą, to przez jej różną prędkość strumień linii magnetycznych, poruszając się do zmiany indukcji magnetycznej taśmy, SEM wywołana tym strumieniem

$$E = k \cdot \frac{d\Phi}{dt} = c \cdot \frac{d(V_{\text{sem}})}{d.t} = C \cdot f$$

jest proporcjonalna do częstotliwości. (Rys. 7).



Rys. 7. Charakterystyka częstotliwości odtwarzania bez układów wyrównujących.

Przy założeniu jednakowej dla wszystkich częstotliwości indukcji magnetycznej na taśmie, wyprodukowane w głowicy odtwarzającej napięcie musi wzrastać liniowo z częstotliwością, jak długie strzemiła jest małe w porównaniu do długości fali, co oczywiście nie ma już miejsca przy wysokich częstotliwościach akustycznych. Stosuje się więc przy odtwarzaniu specjalne wzmacniacze o takiej charakterystyce, aby otrzymać prostoliniowy przebieg napięć różnych częstotliwości. Wzmacniacze te to układy dwulampowe z obwodami rezonansowymi dla podniesienia tonów niskich i wysokich.

Na takiej zasadzie pracowały aparaty z drutem, taśmą stalową i magnetyczny prąd stały.

Przy nagrywaniu na taśmy i druty stalowe okazało się, że nie można nagrać częstotliwości

wyższych niż 3.000 c/s mimo znacznej prędkości przesuwu taśmy około 1,5 m/sek. Zapis wysokich tonów sprawiał dlatego trudności, że dzięki dużej przenikalności stali z dzięki jej znacznej grubości strumień magnetyczny rozpraszal się daleko poza bieżący głowicy nagrywającej (Rys. 8 i Rys. 9).



Rys. 8. Przebieg linii rozpraszania przy magnesowaniu wstępnym.



Rys. 9. Przebieg linii rozpraszania przy magnesowaniu wstępnym.

I tak w granicznym przypadku, nim taśma zdąży wyjść z pola działania sekcji, pole to zmieni swą wartość i taśma wyjdzie mienamagnoszona.*)

Zmniejszenie szerokości strumienia rozpoznania głowicy nagrywającej osiągnięto przez:

a) zastosowanie zamkniętych rdzeni pierścieniowych do nagrywania i odtwarzania. (Rys. 10).



Rys. 10. System głowic pierścieniowych.

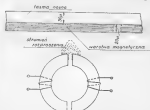
b) zastosowanie taśm osiobładowych z naniesioną warstwą magnetytu. Przez zastosowanie tego zmniejszono grubość taśmy z 80 μ na 1/4 części, zmniejszając przenikalność stalociernej. (Rys. 11).

Dzięki tym zmianom można było zmniejszyć prędkość przesuwu taśmy z 150 cm/sek na 77 cm/sek, przy otrzymaniu najwyższej częstotliwości nagrania 5.500 c/s.

* Dla przykładu: prędkość przesuwu taśmy $V = 1500$ cm/s, szerokość strumienia rozpoznania $l = 0,5$ mm, czas przebiegu taśmy przez pole sekcji: $t = l/V = 0,5/1500 = 1/3000$ sek., zatem częstotliwość powyżej 1500 c/s przy tej szerokości strumienia rozpoznania taśmą zapisywaną będzie coraz słabsza, gdyż przebiegająca w polu rozpoznania będzie napierew namagnesowana, a później odnamagnesowana. (Rys. 12).

Gdy ciężar kątka taśmy stalowej potrzebnej dla 20-tych minutowego nagrania, wynosił 8 kg, to ciężar taśmy magnetofonowej dla tego samego czasu nagrania wynosił 0,8 kg.

W ten sposób z niezgrabnej i mało wartościowej aparatury z taśmą stalową powstaje magne-



Rys. 11. Sposób strumienia rozproszenia głowicy pierścieniowej.

tofon prądu stałego. Z dynamiki 40 db przy zwiększeniach około 10%, charakterystykę częstotliwości do 5.500 c/s magnetofon ten był jeszcze daleki od ideału urządzenia do zapisu dźwięków.

Poprawienie jakości nagrywania na taśmę szło w różnych kierunkach. I tak malowane zmniejszają szumy taśmy, których powodem są nierówności warstwy magnetycznej. Te nierówności są podwójnie przyczyną szu-



Rys. 12. Sposób strumienia rozproszenia.

mów. Na, silne skupienie magnesów elementarnych taśmy powoduje lepszą przewodność magnetyczną, a zatem wzmocnienie pola oddziaływania. Przy odwarstwianiu charakteryzują się te miejsca silniejszym polem magnetycznym. Po drugie nierówności filmu są przyczyną szumów. Nieomówione przyleganie taśmy do głowicy. Aby tego uniknąć zastosowano polerowanie taśm, uzyskując zwiększenie dynamiki o 5 db.

Dalsze zmniejszenie szumów osiągnęto na drodze elektrycznej przez sprzężenie zwrotne. Przy nagrywaniu, gdy nie ma jeszcze modulacji,

a przez głowicę nagrywającą płynie tylko stały prąd polaryzujący, występuje silne pole elektryczne. To napięcie szumu jest wywołane oddziaływaniem nierówności taśmy na pole prądu stałego.

Aby stabilizować pole prądu stałego, stosowano to napięcie szumów w układzie mostkowym i po wzmocnieniu przekazywano w przeciwnym kierunku na głowicę nagrywającą. Układy te przy silnym sprzężeniu wzbudzały się na częstotliwościach nadakustycznych. Przy wystąpieniu samowzbudzenia się układu całkowicie zanikł szum taśmy. Zjawisko to tłumaczy się tym, że taśma magnetyczna prądami zmiennymi wysokiej częstotliwości wychodziła z głowicy nagrywającej zienamagnesowana.

Zjawisko to doprowadziło do powstania magnetofonu wysokiej częstotliwości.

Magnetofon wysokiej częstotliwości posługuje się również taśmą celulozową o grubości 40 μ , szerokości 6,5 mm, z napyloną warstwą magnetytu o grubości 15 μ . Zapie, odwarstwienie i koro-



Rys. 13. Przekład linii magnetycznych przy zastosowaniu ideału pierścieniowych.

wanie dźwięków odbywa się za pomocą zamkniętych pierścieni.

Taśma przylega swoją warstwą magnetyczną jednostronnie do głowicy; na powierzchni styku głowice posiadają szczelinę powrotną, z której wychodzą linie magnetyczne przy nagrywaniu, a wchodzi w głowicę odwarstwiającą przy odczytaniu (Rys. 13).

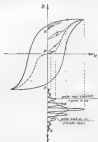
Cechą charakterystyczną tego sposobu nagrywania jest zastosowanie polaryzującego prądu wysokiej częstotliwości (do 100 kc/s) w procesie nagrywania. W uziemieniu głowicy nagrywającej nakładają się: prąd polaryzujący wysokiej częstotliwości i prąd modulacyjny małej częstotliwości. Przy szczelinie głowicy nagrywającej powstaje pole magnetyczne z maksimum w środku szczeliny i spadkach po obydwu stronach. Częstotka magnetyczna taśmy doznaje przebiegając koło szczeliny, w skutek działania pola wysokiej częstotliwości, ciągłego przemieszczania, najpierw z ciężej rozciągającym polem, a później po drugiej stronie szczeliny z ciężko ściągającym polem. Rozpatrujemy na Rys. 14 przypadek, gdy przez głowicę nagrywającą płynie tylko prąd polaryzujący wysokiej częstotliwości.

Na krzywej histerezy (Rys. 14) pokazany jest przebieg magnesowania cząstkami w tym polu dla pobudki malejącego pola. Począwszy od zera cząsteczka tałmy z rosnącym prądem przebiega coraz większe pętle histerezy, aż w maksy-



Rys. 14. Przebieg magnesowania prądem wysokiej częstotliwości.

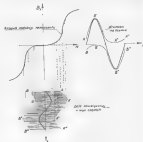
mum prądowym osiąga graniczną pętlę histerezy. Potem następuje ciągłe malecie amplitudy, aż do osiągnięcia zera magnetycznego. Tałma opuszcza więc głowicę nagrywającą całkowicie od magnesowania. Taka tałma przesuwając się



Rys. 15. Przebieg magnesowania prądem małej cz. z nakładczym pr. w. cz.

przed głowicę odwartującą nie może indukować ładnych napięć, zatem nie wywołuje efektu strumu. Gdy nakładamy teraz na prąd polaryzujący wysokiej częstotliwości równocześnie prąd modulujący małej częstotliwości, to pole ma-

grywające ma kształt przedstawiony na rys. 15. Pole od prądu małej częstotliwości, można uważać za stałe w czasie przelotu przez szereg. Z powodu niesymetrycznego położenia pola wysokiej częstotliwości względem osi O, opuszcza teraz cząstka magnetyczna pole nagrywające, już nie w niemagnetycznym stanie, tylko pozostaje jej remanent magnetyczny, proporcjonalny do prądu modulującego. Na Rys. 15 przedstawione są zakrzywione pętle histerezy dla przypadku, gdy prąd polaryzujący i prąd nagrywania mają tę samą wielkość. Zasadniczą zaletą nagrywania wysoką częstotliwością jest to, że tałma magnesowana jest od stanu dziłowego i gdy nie ma ładnej modulacji po procesie magnesowania opuszcza głowicę nagrywającą w stanie dziłowym, tak że w przerwach

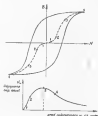


Rys. 16. Demagnetizacja prądu polaryzującego wysokiej częstotliwości.

modulacji nie występuje ładny szum. Magnesowanie materiałów ferromagnetycznych odbywa się po raz pierwszy, jak już wiemy, według dziłowej krzywej magnesowania. Charakterystyczną cechą tej krzywej jest jej nieliniowy przebieg w pobliżu zera i zagięcia w krzywą nasycenia po przebiegnięciu stosunkowo krótkiego prostoliniowego odcinka. Krzywej tej całkowicie nie możemy wykorzystać do zapisu dziłowego z powodu silnych zniekształceń nieliniowych, które by wtedy powstały. Dlatego stosujemy przy poznanych już sposobie nagrywania polaryzujący prąd stały, który przesuwamy nam punkt pracy na prostoliniową część charakterystyki, albo stosuje się silnie nasyconą tałmę i przecuje przy pomocy przeciwnie oddziałującego stałego prądu polaryzującego na prostoliniowej części krzywej granicznej histerezy. Zastosowanie prądu polaryzującego, wysokiej częstotliwości pozwala na takie wyrównanie dziłowej krzywej dziłowej, że zapis jest modułowy już począwszy od zera przy małych zniekształceniach nielino-

wych. To działanie prądu polaryzującego wysokiej częstotliwości ilustruje rys. 16.

Taśma wchodzi w szczelinę głowicy nagrywającej całkowicie od magnesowania w poprzedzającej ją głowicy kasującej. W czasie przebiegu elementu taśmy w szczelinie natężenie pola pochodzące od sygnałów akustycznych nie zmienia się praktycznie. Natomiast prąd polaryzujący wysokiej częstotliwości w tym samym czasie odchył półtora do dwóch rygli. Remanent magnetyczny jaki będzie posiadał element taśmy zależy od natężenia pola występującego w szczelinie w momencie, gdy ten element opuszcza szczelinę. Odnosząc rys. 16 oznacza to, że gdy jeden element taśmy ma remanent odpowiadający punktowi A, to następny element będzie miał remanent odpowiadający punktowi B. Ponieważ szeregowa jest dostatecznie długa, mieści w sobie kilka szczytów dodatnich i ujemnych



Rys. 12. Optymalny punkt pracy w zależności od wielkości prądu polaryzującego.

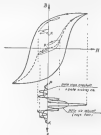
prądu polaryzującego wysokiej częstotliwości. Całkowite natężenie w szczelinie będzie zależne od sumy natężeń. Na Rys. 16 odrzutowanie dodatnich szczytów za krzywą natężenia remanentu, w każdej chwili sygnału akustycznego da nam krzywą A. Odrzutowanie ujemnych wierzchołków da krzywą B. Różnica A i B daje krzywą, którą przedstawia listowe natężenie, jakie taśma odzwierciedla w szczelinie.

Jakie znaczenie ma wielkość prądu polaryzującego wysokiej częstotliwości widzieć z rys. 17.

Przy małych amplitudach prądu polaryzującego otrzymamy małą strasność, która wzrasta z amplitudą, a później maleje. Rys. 17 pokazuje wielkość nagrzanego sygnału przy zmianie prądów polaryzacyjnych wysokiej częstotliwości przy nagrywaniu niewielką amplitudą małej częstotliwości.

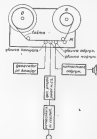
Odbijanie wiatru na taśmę pola nagrzaną rozciąga się na szerokość 0,5 mm po obu stronach od środka szczeliny. Jako granicę pola

przyjęto tę wartość, gdzie pole nagrzaną spada do pola $1/10$ swojej maksymalnej amplitudy. Przy takiej rozciągłości pola nagrzaną można tylko dla niskich częstotliwości przyjąć



Rys. 13. Przebieg magnesowania dla wysokich tonów.

wał w czasie przejścia taśmy przez szczelinę stałe pole częstotliwości akustycznej. Przy wysokich częstotliwościach akustycznych w szczelinie około 10 000 c pole małej częstotliwości zmienia swą fazę nim cząsteczka magnetyczna opoźni obrotu działania pola nagrzaną. Przy zmianie fazy o 180° przeciwdziała teraz pole działaniu pola poprzedniego i tak, jako namagnesowanie pozostaje różnica między oby-



Rys. 18. Układ magnetofonu wysokiej częstotliwości.

dwoma działaniami. Można więc zauważyć, że utrwala na taśmę indukcja remanentu spada począwszy od 2 000 c, o ile założymy jednokowy prąd magnesujący dla wszystkich częstotliwości nagranych. Dla łatwiejszego przed-

stawienia tego procesu try. 18. pokazuje przebieg magnosowania dla wysokich tonów.

W praktyce przeciwdziała się temu odmagnosowaniu przez powiększenie amplitud prądu wyższych częstotliwości akustycznych. Całość biegu magnosowania dla wysokich tonów.

- 1) Motor (M) przetwarzający taśmę z jednostajną prędkością.
- 2) Motory: nawijający (N) i odwijający (O).
- 3) Głowice do kasowania, nagrywania i edgrywania.
- 4) Termistor wysokiej częstotliwości dla kasowania wprzeżnych nagrań.
- 5) Generator prądu polaryzującego wysokiej częstotliwości.
- 6) Wzmocniacz małej częstotliwości.
- 7) Wzmocniacz wyrównujący charakterystykę częstotliwościową.

Nagrywaniem przy pomocy wysokiej częstotliwości osiąga się prostoliniową charakterystykę od 30 do 10.000 c/s przy dynamice 60 db. przy zniekształceniu a/c 1,5% dla 1.000 c/s.

Magnosofem wysokiej częstotliwości osiąga jakości najlepszych urządzeń do nagrywania, jak nagrania foto-elektryczne, nagrania na wosku, a wkład odnośnie materiału i urządzeń jest znacznie mniejszy.

LITERATURA:

- 1) Allen B. Rosenstein — „Principles and methods of magnetic recording”, Radio News-Dec. 1946.
- 2) Hugh A. Howell — „Magnetic paper tape recorder” — Radio News-March 1947.

- 3) British Intelligence Objectives Sub-Committee — The „Magnetophon” of AEG.
- 4) Long, T. H. — „New Wire Recorder Head Design” Electrical Engineering April 1946, page 216.
- 5) Woodrige, D. E. Signal and Noise Levels in Magnetic Tape Recording”, Electrical Engineering, June 1946, page 343.
- 6) Science News Letter, D. 22, 45: 48:399.
- 7) Pugsley, D. W., „Wire Recording”, Electrical Engineering, July 1946, page 316.
- 8) Holmes, L. C., and Clark D. L., „Supersonic Bias for Magnetic Recording”, Electronics July 1945, page 126.
- 9) Camras, Marvin, „A New Magnetic Wire Recorder”, Radio News, Radionics Edition, November 1945.
- 10) Marvin, Camras — „Magnetic sound for motion pictures”. — Radio News — April 1947.
- 11) Richard H. Ranger — Electronics — October 1947.
- 12) Erwin Meyer und Eduard Schüller — „Magnetische Schallaufzeichnung und Stahlbänder”, Z. Techn.-Physik 13 (1932) S. 593.
- 13) R. Müller — Ernesti „Das Magnetophon”.
- 14) Ernst Müller — Magnetische Schallaufzeichnung.
- 15) Heinz Lübeck — Magnetische Schallaufzeichnung mit Filmen und Ringkopfen Akustische Zeitschrift 1937.
- 16) Walter Weber — Die magnetische Schallaufzeichnung mit besonderer Berücksichtigung der neuen Fortschritte.
- 17) RRG Braunschweig R 122a.
- 18) Dr. C. Stille — Die elektromagnetische Schallaufzeichnung. Elektrotech. Z. 51 (1930) S. 449.

Przegląd schematów

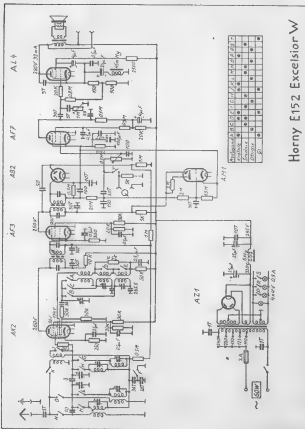
Schemat Nr. 36 przedstawia trzy zakresowy super 7-obwodowy z magnicznym odcim.

Na wejściu widzimy filtr wejściowy (dla fal średnich i długich) pozwalający na całkowite usunięcie gwiezdek wywołanych oddziaływaniami lustrzanymi, które mimo stosunkowo wysokiej pośredniej (470 kc/s) daje się odczuć na krótszych falach zakresu średniego.

W stopniu mieszalnym pracuje w normalnym układzie układu AK2. Dla wyrównania oscylacji na całym zakresie średnio i długofalowym cewki reakcyjne są tłumione równoległym oporem 2,5 kiloma. Dla regulacji selektywności zmienia się sprzężenie pomiędzy cewkami pierwszego filtra pośredniej częstotliwości. Dla detekcji i automatyki wykorzystana jest oddzielną

duoidea AB2. Napięcie małej częstotliwości a mostka detekcyjnego 0,5 Mg 100 pF, podaje się na potencjometr 0,5 megoma, a stąd na sławkę lampy AF7, która przenosi jako napięciowy wzmacniacz małej częstotliwości. Z tego samego mostka po odfiltrowaniu składowych małej częstotliwości przy pomocy filtra 2 Mg. 30000 pF składowa sławkę napięcia steruje sławkę oka magnicznego.

Dla automatyki wykorzystana jest druga dioda lampy AB2. Napięcie odpinające uzyskuje się dzięki spadkowi napięcia na wspólnym oporze katodowym lampy AF7 i AML Barwę tonu reguluje się opornikiem 1 Mg. bocznikującym wraz z kondensatorem 3000 pF obwód anodowy lampy AF7. W stopniu końcowym pracuje pen-



Schraub Nr. 38

toż A1A. W obwodzie katody tej lampy widzi-
my kombinację oporów, kondensatorów i dławika,
które razem służą do uzyskania dogodnego
przebiegu charakterystyki wzmacnienia maleją-
czostliwości. Wykorzystuje się tutaj ujemną
reakcję, która działa dzięki spadkowi zmiennego
prądu anodowego w obwodzie katody. Dla uzy-
skania ujemnego napięcia siatkowego służy opór
150 omów, dalszą część oporu (50 omów) słuszy
wyłącznie dla ujemnej reakcji. Opory te są sa-
bachinikowane dla tonów niskich kondensatorem
25 μ F i dławikiem 45 mH. Dzięki takiemu ob-
wodowi rezonansowemu prądy małych czę-
stotliwości są praktycznie zwarte i ujemna reak-
cja nie działa, a zatem wzmacnienie dla tych czę-
stotliwości jest duże. Dla tonów średnich (1000
— 2000 c/s) równoległe do oporów katodowych
(150 i 500 omów) działa obwód rezonansowy
równoległy (dławik 45 mH i kondensator 0,5
 μ F). W ten sposób obwód katody ma możliwość
największy opór wypadkowy i występuje na nim
spadek napięcia, który w efekcie zmniejsza
wzmocnienie dla tonów średnich. Dla tonów wy-
sokich opory katodowe są praktycznie zwarte
przez kondensator 0,5 μ F, przez co znowu uzy-
skujemy zwiększenie wzmacnienia. Dzięki tym
elementom otrzymujemy dogodny przebieg cha-
rakterystyki wzmacnienia, tj. wypuklenie to-
nów niskich i wysokich, a osłabienie średnich.

Schemat Nr. 37 to super 4 zakresowy (dwa
zakresy fal krótkich) 1-mio obwodowy z po-
średnią na częstotliwości 128 kc/s.

Na pierwszym zakresie fal krótkich obwód
wejściowy jest niestrojony, na drugim włącza
się równoległe kondensator stały i kondensator
zmienny.

W oscylatorze lampy AK2 cewki reakcyjne są
tłumione oporem dla wyrównania oscylacji.
Wzmacniacz pośredniej na lampie AF3 posiada
w obwodzie anodowym miliamperomierz wska-
zujący moment nastrojenia (minimum prądu).
Diody lampy ABC1 służą dla detekcji i asloma-
tyki. Automatyk jest objęty również drugi sto-
pień wzmacniacza maleją częstotliwości na selek-
torze AF3. Pierwszy stopień m. cz. za lampie
ABC1 sprzężony jest z drugim stopniem przy
pomocy dławika oraz kombinacji oporów i kon-
densatorów, którymi reguluje się barwę tonu
(4 położenia przełącznika).

W stopniu końcowym pracuje lampka AL1
z katodą bezpośrednią żarzoną, skutkiem czego
środek żarzenia symetryzuje się potencjome-
trem nielocownym wzbudzającym równoległe do
uzwojenia żarzenia tej lampy.

Filtr części sieciowej nie posiada dławika, lecz
opór i dla kompensacji przydźwięku nasła się
anodę i siatkę ekranującą z pierwszego kondens-
atora filtra.

Jan Średnicki

Lampy wzmacniające z wtórną emisją elektronów

(Powielacze elektronów)

Do stosunkowo nowych zdobyczy w technice
budowy lamp radiowych należy zakres lampy
z wtórną emisją elektronów. Jakkolwiek pierw-
sze ich modele pojawiły się już znacznie wzo-
śniej, to jednak seryjna produkcja na większą
skalę datuje się dopiero od kilku lat. Aby lepiej
zrozumieć zasadę działania takich lamp zesta-
wiliśmy się nad przyczynami powstawania wtór-
nych elektronów. Elektrony wyrzucane przez
katodę mogą posiadać stosunkowo bardzo duże
prędkości, zależne przede wszystkim od poten-
cjałów, poszczególnych elektrod. W zwykłej dwu-
elektrodowej lampie przy napięciu 300 V pręd-
kość ta wynosi około 10000 km/sok. Może to być
powodem, że uderzające o anodę elektrony pier-
wotne wywołują pewną ilość elektronów z zew-
zatrzanej powłoki metalu. Jeśli te ostatnie będą
posiadały odpowiedni kierunek ruchu i prędkość,
to opuszczają anodę i nazywamy je wtedy elektro-
nami wtórnymi.

W wypadku, gdy siatka posiada wyższy po-
tencjał dodatni od anody, elektrony wtórne wy-

zwalone z anody zostają przyciągnięte przez
siatkę. Powstaje wtedy dodatkowy prąd siatko-
wy przy równoczesnym spadku prądu anodo-
wego. Opór lampy staje się ujemnym gdyż:

$$R_i = \frac{\Delta U_s}{\Delta I_s} < 0 \quad U_s = \text{const}$$

SKALE do radiododbiorników
różnych typów poleca

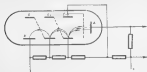
„Kopiotekhnika“ Poznań

WY W. Ruszkiewicz, ul. Wierzbiciska 18. Tel. 19-55

Na prośbę wysyłaamy pocztą. Przy zamówie-
niach podać nazwę i typ aparatu oraz wymiar skali

(czyli prąd napięcia anodowego do przystroju prądu anodowego przy stałym napięciu siatki jest mniejszy od zera). Układ nadaje się jako generator drgań (dynatron).

Długo w zwykłych wzmacniaczach lampowych staraliśmy się uniknąć występowania wtórnych elektronów. Używaliśmy się to m. in. przez stosowanie dodatkowej siatki między siatką osłonową a anodą (t. zw. siatką hamującą).



Rys. 1. Powielacz elektronów magnetyczny. Pole magnetyczne jest skierowane prostopadle do płaszczyzny rysunku. (Dolne dwie elektrody bez zapasów powinny być oznaczone S₁ i S₂).

Zastąpiła jednak zbudowana lampą, której zadaniem wzmacniania polega na wykorzystaniu wtórnej emisji. Wyobraźmy sobie, że jeden elektron pierwotny uderzający w metalową elektrodę powoduje wywołanie pewnej ilości, określonej przez δ , elektronów wtórnych. Liczba δ zależy od napięcia na elektrodach, budowy lampy i fizycznych właściwości metalu emitującego elektrony wtórne. N.p. δ dla niktalu i napięcia 150 V wynosi 0,94, t. zn. że ilość elektronów wtórnych jest mniejsza od pierwotnych. Natomiast jeśli $\delta > 1$ otrzymamy większą ilość elektronów, a co za tym idzie, i wzmacnienie. W tym celu stosowało się początkowo elektrody pokryte cienką warstwą tlenku srebra i cenn. Okazało się jednak, że nie nadają się one dla temperatur przetwarzających 200° C. Dlatego dla lamp o większej mocy używa się obecnie warstw z tlenku magnezu wzgl. stopów berylu wytrzymujących temperatury większe do 500° C.

Aby możliwie wszystkie elektrony uderzały w taką elektrodę stosuje się sterujące stałe pola

magnetyczne lub elektryczne. Stąd pochodzi nazwa niektórych systemów takich lamp.

Na rys. 1. przedstawiony jest wzmacniacz z wtórną emisją elektronów ze sterowaniem magnetycznym. Wychodzące z katody K elektrony zostają poddane działaniu pola magnetycznego skierowanego prostopadle do płaszczyzny rysunku tak, że tor ich poruszania się ulega zakrzywieniu i trafiają do elektrody S₁. Jest to tym bardziej ułatwione że S₁ posiada pewien potencjał dodatni względem katody. Elektrody S₁ pokryte są łatwo emitującą warstwą tak, że $\delta > 1$ już większa ilość elektronów daje podobnie jak poprzednio do S₂. Potencjał elektrody S₂ jest większy od potencjału S₁ itd.

W ten sposób wielokrotnie większą ilość elektronów dojdzie do anody, co równa się wzmacnieniu np. słabego prądu wytwarzanego przez fotokatodę. Elektrody E wywołują dodatkowo pola elektryczne oślem zapobiegają oddziaływaniu wtórnemu wtórnych elektronów.

Podobnie zbudowany jest wzmacniacz Wolfa. Katoda emituje elektrony pod wpływem światła, a elektrody S zbudowane są w formie siatki, przez które część elektronów przechodzi, część zaś powoduje powstanie elektronów wtórnych, które przeciągane są przez następną elektrodę o wyższym potencjale dodatnim. Celem koncentracji elektronów stosuje się podobnie pola magnetyczne lub elektryczne. Elektrody emitujące elektrony wtórne noszą w literaturze różne nazwy, najczęściej nazywane są katodami wtórnymi.

Wzmocnienie z wtórną emisją stosuje się w pierwszym rzędzie do wzmacnienia słabych prądów wytworzonych przez fotokatodę, które zastępują katodę. Urządzenie takie w porównaniu z fotokatodą i zwykłym wzmacniaczem daje m. i. korzyści pod wzgl. kosztów, które jak wiadomo są zasadniczym czynnikiem obniżającym granicę wzmacnienia przy pomocy lampy. Obliczenia wykazały, że stosując powielacz (-) elektronów czułość można podwyższyć około 200 razy. W wypadku wzmacniaczy magnetycznych, pola magnetyczne jest wytwarzane przez magnesy, których wymiary będą tym mniejsze, im mniejsza będzie ich skuteczność. Użytkownik może zmniejszać odpowiednie wymiary lampy, np. umieszczając elektrody w formie okładzin wprost na jej składanych ściankach. Jako materiał na magnesy używa się stopów żelazo-nikiel- miedź ze wzgl. na łatwą obrabialność i dobre własności mechaniczne. Do 10-stopniowego powielania magnes taki waży około 270 g. Napięcie zasilacza wynosi 300, 500 wzgl. 1000 przy 4, 10 i 20 stopniach, a odpowiednio wzmacnienie jest 50, 1000 i 1.000.000-krotnie. Oczywiście to dane przeciętne. Stosując wyższe napięcia można osiągnąć wzmacnienia olbrzymie. Przy 2000 V i 16 elektrodach może wynosić np. 10⁶ tj. 100 młj! Jako przykład fotokatodki z powielaczem elektronów może służyć typ 8520

KUPON Nr 17

na odpowiedź w »Radio«

Nazwisko

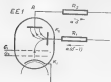
Adres

Philipsa. Na skutek bardzo dużego nachylenia stosując się powielacze elektronów również w steroskopowych wzmacniaczach (np. telewizyjnych). Lampa taka posiada podobny system wełściwy jak nowoczesna lampa wysokiej czułości. Anodę zastępuje pierwsza katoda wtórna.

W normalnych lampach podwyższenie nachylenia jest równoznaczne z zwiększeniem się pojemności wewnętrznych lampy, powstałych przez zbliżanie poszczególnych elektrod, dlatego musimy posiadać pewną techniczną granicę, która nie przekracza kilkudziesięciu milimetrów na volt. Inaczej jest w wypadku lampy z wtórną emisją. Zwiększenie słopni powielania jest równoznaczne z podwyższeniem nachylenia, które w ten sposób może osiągnąć bardzo duże wartości np. 130 mA/V. Dla porównania warto przypomnieć, że nachylenie lampy AL4 wynosi 9 mA/V.

W praktyce na ogół nie stosujemy tak dużych nachyleń, m. i. ze względu na wahania współczynnika δ i wzrost szumów, dlatego większość lamp z wtórną emisją, produkowanych seryjnie, posiada tylko jedną katodę wtórną; do takich należy np. lampa „Philipsa” 4036 ($S = 14$ mA/V), EE80 (oskół szpilkowy, $S = 14$ mA/V) używana w wzmacniaczach telewizyjnych oraz EE1, którą bliżej opiszemy.

Lampa EE1 składa się z następujących części (rys. 2). Pierwszą z nich stanowią pierwsze trzy elektrody zwykłej triody, a więc katoda K_1 , siatka sterująca G_1 oraz siatka osłonna



Rys. 2. Schemat lampy z wtórną emisją EE1. Strzałki pokazują kierunek ruchu elektronów. (Oznaczenia G_1 , G_2 należy przeczytać).

G_2 . Drugą część posiada katodę wtórną K_2 i anodę A. Elektrony pierwotna przechodzą przez system pierwszy i uderzają o katodę wtórną znajdującą się pod napięciem $+150$ V, gdzie powodują emisję elektronów wtórnych, dostających się z kolei do anody o wyższym potencjale ($+250$ V).

Nachylenie przy tym samym prądzie anodowym jest o $\delta^{1/2}$ większe od podobnej lampy bez dodatkowego wzmocnienia przy pomocy wtór-

nych elektronów. Współczynnik k zależy od konstrukcji lampy i wynosi około 1,6 dla EE1. Jeśli $\delta = 5$ to $k^{1/2} = 2,6$ nachylenie jest około 2,6 razy większe.

Konstrukcyjne rozwiązanie przedstawia rysunek 3. Dodatkowe elektrody S_1 i S_2 są połączone z katodą K_1 i mają na celu nadanie odpowiedniego toru poruszania się elektronów wzgl. otaczającej katody K_2 , przed nabiciami złożonymi z baru



Rys. 3. Przekrój lampy EE1 z naczyniowym torem poruszania się elektronów.

względ. z tlenku baru wydzielanymi przez katodę K_1 .

Charakterystyczną cechą lampy z wtórną emisją jest równoznaczne z zwiększaniem się napięciem dodatnim $+150$ V to jednak prąd płynie od K_2 do źródła prądu. Oznacza to, że prądy I_1 i I_2 są względem siebie przesunięte w fazie o 180° . Ta właściwość spowodowała, że lampa EE1 znalazła zastosowanie jako obracacz fazy dla układów przeciwnobnych (push-pull). Z rozważań poprzednich wynika że jeśli przez siatkę G_2 dostala się pewna liczba elektronów „ a ”, to do anody dotarło „ $a\delta$ ” elektronów; czyli do katody K_2 musiało dolecieć $a\delta - a = a(\delta - 1)$ elektronów z zewnątrz. Zatem prąd anodowy jest proporcjonalny do δ , a prąd katodowy do $\delta - 1$. Celem uzyskania jednokowych napięć (zmiennych) na oporach R_1 i R_2 przy użyciu EE1 jako odwracacz fazy musi być spełniony warunek:

$$R_1 \cdot \delta = R_2 (\delta - 1) \quad \text{czyli} \quad R_2 = \frac{\delta - 1}{\delta} \cdot R_1$$

W praktyce R_1 posiada nieco większą wartość gdyż zmienne napięcie katody K_2 posiada pewien wpływ na sterowanie prądu anodowego.

Schemat na rysunku 4 przedstawia lampę EE1 użytą jako odwracacz fazy dla stopnia kodowego złożonego z dwóch lamp EL50 (wg. Philipsa). Celem zmniejszenia przesunięć charakterystyki zastosowano specjalną kompensację, którą Philips stosuje we wszystkich układach. Działanie jej jest przedstawione na charakterystyce zwykłej triody rys. 5. Obierając punkt

Uzupełnienie do lamp serii ...11

Typ	Co długość	Za- miana ozna- czenie	Co śred.	U _z	J _z	U _a	U _{s1}	U _{s2}	J _a	J _{s2} (J _{s2} max)	S (Sc)	g	R _i	R _a	P _a	P _{ar}
				V	V	V	V	V	m A	m A	m A/V		Ω, MΩ	Ω, MΩ	W	W
EFM11	4 +8	7,67 + 11	12	6,3	0,2	250V —	-1,5 -20	— 25000 (1)	1 0,6	0,65 0,2	—	100W 120W	— —	— 15000	— —	— —
EF11	4V	1	13	5,3	0,2	100 200 250	-2/-21 -2/-42 -2/-53	100 — 25000 (1)	6 6 6	2 2 2	2,16mV 2,16mV 2,16mV	— — —	0,8 1,2 1,5	— — —	— — —	— — —
EL11						250	-6	250	36	4	9	—	50000	7000	—	4,5
ELM11	4	9	14	6,3	0,9	100(85)	—	100(85)	—	—	—	—	—	—	—	—
EM11	8	11	15	6,3	0,2	100 250	-100(21) -200(1)	— —	0,03 0,1	— —	— —	— —	— —	100000	—	—
EZ11	9 +9	12	10	6,3	0,29	2+250	—	—	60	—	—	—	—	600(15)	—	—
UBFM	1 +1 +8	6+1 7 6+70	20	0,1		250 —	-2 -42	15000 (1)	5 —	1,8 —	1,8 —	— —	2 7,10	— —	— —	— —
						100 —	-1 -22	100 —	2,6 —	1,8 —	1,8 —	— —	0,3 7,10	— 100000	— —	— —
						250	-2	400K	1,5	0,5	—	83(14)	—	—	—	—
UCHM	2					100 —	-1 -12	10000 (1)	1,2 —	1,5 —	0,45(1) —	— —	0,6 7,10	— —	— —	— —
	15V	2+3	9	20	0,1	200 —	-2 -18	10000 (1)	2,5 —	3 —	0,75 —	— —	7,10 7,3	— —	— —	— —
						100 200	10000 (1)	—	1,4 2,8	— —	— —	— —	10000 10000 (1)	— —	— —	— —
UCL11	2 +3	7,67 9	10	60	0,1	200	-2	—	2	—	2,5	65	10000	150000	—	—
				60	0,1	200	-8,5	200	45	6	8	—	45000	4500	9	4
UFM11	4V +8	7,67 + 11	12	15	0,1	200 100 —	0 -11(20) 0 -6	10000 (1) 10000 (1)	0,05 0,45 0,5	0,37 0,18 0,18	— — —	0,25(1) 42 75(14)	100000 150000 150000	— — —	— — —	— — —
						—	—	—	0,24	0,08	—	9	—	—	—	—
UF11	4V	1	13	15	0,1	200 —	-2 -42	10000 (1)	6 —	0,85 —	2,2 —	—	1,5 7,10	— —	— —	— —
						100 —	-1 -22	10000 (1)	2,7 —	0,85 —	1,8 —	—	1,1 7,10	— —	— —	— —
UM11	8	11	17	15	0,1	200 100	-16 -6	— —	0,35 —	— —	— —	— —	100000 100000	— —	— —	— —
UY11	9	12	18	50	0,1	250	—	—	140	—	—	—	—	150(15)	—	—

Lampy »pocztowe« (komunikacyjne)

Typ	Rozr.	Za- sługa aut. mot.	Ca- łoc. moc	U_z	I_z	U_a	U_{s1}	U_{s2}	I_a	I_{s2} ($I_{s1}+I_s$)	S (S_c)	$P_{se-chajt}$	R_i	R_a	P_a	P_{gr}
				V	A	V	V	V	m A	m A	m A/2	%	Ω	Ω	W	W
Be	2	1+7	-	3,8	0,5	130	-4,5	-	8	-	2,4	8,3	5	5	0,06	3
Bh	2	1+7	-	3,8	0,10	130	-4	-	8	-	2,4	8,3	5	5	0,06	3
C408	2	3	-	4	0,25	150	-7	-	14	-	2,7	12,5	3	-	-	1
Cas	2	9	-	3,6	1,1	220	-12	-	20	-	1,7	14,6	4,1	4,1	0,2	10
Cd	2	9	-	3,8	0,5	130	-8	-	25	-	3	16,6	2	2	0,15	4
Cf	2	9	-	3,8	0,25	130	-8	-	25	-	3	16,7	2	2	0,15	4
Cf50	4	3	-	30	0,2	250	-2	100	1,5	0,3	3,3	-	2500	-	-	1
C3c	4	1+7	-	4	1,1	220	-20	100	10 0,8	4 0,3	2,6 0,13	-	650	-	-	2
C3d	4	1+7	-	18	0,24	220	-2,5	200	14	3,5	4,1	0,07	350	20	0,6	3
C3e	4	1+7	-	18	0,24	220	-2,5	200	14	3,5	4,1	0,07	350	20	0,6	3
C3f	4	1+7	-	18	0,24	220	-20	100	10 0,8	4 0,3	2,6 0,13	-	650	-	-	2
Da	2	9	-	5,8	1,1	220	-30	-	50	-	2,5	27,5	1,45	1,5	1	13
Ec	2	9	-	18	0,7	250	-23	-	90	-	10	14,5	0,67	1,5	3,5	23
E2b	10	9	-	18	0,36	220	-3,5	200	42	6	10,5	0,25	40	6,5	2,2	10
E2e	10	9	-	18	0,36	220	-3,5	200	42	6	10,5	0,25	40	6,5	2,2	10
E2f	4	3	-	6,3	0,15	250	-3	100	5,5	1,8	1,8	-	800	-	-	-
E3a	4	9	-	4	1,1	220	-12	220	30	7	3,1	0,6	55	8	2	8
E22a	4	1+7	-	18	0,25	2x340	-16	2x90	-	-	-	-	-	-	-	-
Z2c	9	12	-	4	4	2x400	-	-	300	-	-	-	-	-	-	-
Z2d	9	12	-	18	0,25	2x125	-	-	10	-	-	-	-	-	-	-

KĄCIK KRÓTKOFALOWCA

Przebieg sprawy krótkofalarstwa polskiego przynajmniej wreszcie realnie formy, kontynuujemy przerwaną w tym czasie „Kącik krótkofalowca”. W ramach tego kącika podawać będziemy streszczenia artykułów z prasy zagranicznej oraz artykuły własne, zarówno z dziedziny techniki odbiorczej jak i nadawczej.

Pragniemy, aby do współpracy z nami przystąpił ci wszyscy, którzy byli już czynnymi krótkofalowcami, a w ten sposób podzielić się swoim doświadczeniem z młodą rzeszą radioelektrików, których idea krótkofalarstwa coraz bardziej interesuje.

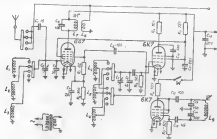
Red.

KONWERTER

Przed porządkującym krótkofalowcem stoi zawsze niezadany problem: jakiego typu budować odbiornik?

Jak wiadomo, krótkofalowcom przydzielono wysokie zakresy częstotliwości, w których mogą swobodnie pracować. Zakresy te zwane popularnie „pasami”, (przynajmniej pasy na ostatniej konferencji w Atlantic City podano w Nr 7/8 1947 r. str. 1) na normalnym odbiorniku zajmują wąski odcinek skali. Praca na takim odbiorniku nie jest więc łatwa. Dlatego krótko-

z przysławką krótkofalową. W swoim czasie przysławka taka składa się z audiona, ewentualnie z jednym stopniem wysokić, zaś w odbiorniku wykorzystywało się wzmacniacz małej częstotliwości przez podłączenie do zacisków adaptera. W następnym etapie budowano normalną autodynę, która w stanie oscylacji odbierała na złącach krzywę rezonansu przychodzącą stację i zarazem była stopniem mieszającym. Na wyjściu autodyny otrzymywaliśmy sygnał pośredniej (zwykle ze względu na małe osłabie-



Rys. 1

falowy budują odbiorniki specjalne „pasowe”, których skala obejmuje nie więcej niż jeden pas amatorski. Porządkujący krótkofalowiec nie zawsze może zbudować sobie taki specjalny odbiornik, w zarozumiałym posiadający dużą czułość i selektywność. Odbiorniki proste w gwarze amatorskiej zwane O — V — 1 (audion + niska) lub I — V — 1 (wysoka + audion + niska) w dróbkowym zagęszczeniu w dziedzinie są już przestarzałe. Dlatego najprostszym rozwiązaniem problemu jest wykorzystanie normalnego odbiornika (który każdy amator posiada), wraz

nie sygnału przychodzącego, w zakresie fal długich), który następnie podawało się na wejście anteny. Zmiana normalnego odbiornika. Sposób ten nie dajeł zadowalających rezultatów, ze względu na gwizdy interferencyjne, odbicia luzem, które przy tak niskiej pośredniej osłabły się.

Dzisiaj przysławkę buduje się już w bardziej złożonej formie i zwi się konwerterem.

Konwerter posiada stopień mieszający na oktodzie, hektodzie lub pentodzie, często jeden lub więcej stopni wielkiej częstotliwości oraz

oscylator, który pozwala odbierać stacje telegraficzne.

W anodzie stopnia mieszającego włączony jest obwód pośredniej (zwykły zakres 1400—1600 kc/s), który przez dodatkową cewkę sprzęga się z obwodem wejściowym normalnego odbiornika zastrojonego na częstotliwość pośrednią tj. 1400—1600 kc/s. Wysoka pośrednia pozwala na uniknięcie wpływu luźnych odbi.

W ten sposób otrzymujemy w komplecie odbiornik, który niczym nie ustępuje 6-cio czy siedmiomislampowym komunikacyjnym superheterodynom.

Poniżej podajemy dwa układy konwerterów z sowckiego miesięcznika „Radio” 4—47 oraz „Radio Handbook” rok 1942.

Na rys. 1 widzimy schemat konwertera z lampą 6 L 7* jako stopniem mieszającym, lampą 6 K 7 jako oscylatorem oraz z dodatkowym oscylatorem (6K7 połączona jako trioda) dla umożliwienia odbioru stacji telegraficznych. Zamiast tych lamp można z powodzeniem użyć innych, a nawet popularnych RV12 P 2000, przy czym układ mieszający na tych lampach podajemy niżej. Konwerter posiada 3 zakresy na pas 10, 20 i 40 (również dobrze można zbudować zakresy line). Dla uproszczenia zastosowano sprzężenie z antoną pojemnościowe.

W trzech położeniach przełącznika włącza się antenę na obwód wejściowy przez kondensator o pojemności 15 pF, zaś przy czwartym położeniu przełącznika antena jest przyłączona bezpośrednio do zacisku antenowego odbiornika. W stopniu mieszającym pracuje heptoda 6 L 7, która nie posiada części oscylatorowej, dlatego lokalny oscylator pracuje na oddzielnej lampie 6K7 w układzie trzypunktowym (Hartley'a), w którym cewka reakcyjna jest częścią cewki obwodu (część odsepek — ziemia). Część napięcia w częstotliwości przekazuje się przez kondensator 100 pF na 8 szlakę lampy 6L7. W obwodzie anodowym lampy 6L7 widzimy obwód nastrojony na częstotliwość pośrednią (ok. 1400 kc/s); a obwodem tym sprzężona jest cewka, przy pomocy której doprowadzamy napięcie pośrednie na wejście odbiornika. Dla odbioru stacji telegraficznych, które na ogół nie są modulowane, a wysyłają falę ciągłą przerywaną, musimy użyć dodatkowego oscylatora, który będzie interferował z drganiem częstotliwości pośredniej. Użył tu można oscylatora na częstotliwość 1400 kc/s, albo na częstotliwość pośrednią posiadanych odbiornika (tj. 128 kc/s albo 485). Pierwszy sposób jest bardziej uniwersalny i można go użyć przy każdym odbiorniku (również przy odbiorniku o wzmocnieniu bezpośrednim).

Drugi sposób nadaje się tylko do odbiorników superheterodynowych.

Ten konwerter posiada rozwiązanie drugie.

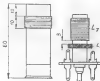
* Na rys. błędna 6G7

Lampa 6K7 połączona jako trioda, pracuje w układzie oscylatora Colpittsa; reakcję uzyskuje się dzięki odsepkowi na kondensatorze obwodu. (W układzie Hartley'a dzieli się cewkę obwodu na dwie części, w Colpittsie pojemność).

Sprężenie sygnałów tego oscylatora z obwodem pośredniej w odbiorniku odbywa się poprzez przewody zasilające. Przy odbiorze stacji telefonicznych wyłączą się oscylator wytwarzającym W.

Części.

Konwerter sterowany podwójnym kondensatorem C_2, C_3 (jeden w obwodzie wejściowym, drugim w oscylatorze). Kondensator ten przetwarzamy z normalnego agregatu, w którym zostawiamy tylko po jednej płytce w rotorze i statorez w odległości 2 mm. Równoległa do tych kondensatorów włączone są kondensatory stałe, dzięki czemu mamy niemal na całej skali rozciągnięty pas.



Rys. 2a, b.

Cewki nawinięte są na cylindrach o średnicy 20 mm drutem 0,8 w emalii.

Długość utworzenia, ok. 10 mm dla wszystkich zakresów; cewkę zakresu 40 m nawijamy dwuwarstwowo. Ilości zwojów podane są w tablicy I.

TABLICA I

P o z	L ₁ 10 m	L ₂ 20 m	L ₃ 40 m	L ₄ 10 m	L ₅ 20 m	L ₆ 40 m
Ilość zwojów	4	9	18	3,5	3,5	16
Odciep od anteny słas	—	—	—	1,5	3	1,5

Cewki obwodu pośredniej (L_2, L_3 rys. 2b) oraz cewkę oscylatora pomocniczego dla telegrafii L_4 wykonujemy na karkasach z rdzeniem ferrokartowym. (Oczywiście możemy tu użyć innych cewek ferrokartowych, a ilości zwojów obliczymy przy pomocy podanych w poprzednich numerach nomogramów).

Cewka L_5 nawinięta jest na karkasie o śred. nicy 11 mm, drut 0,12 mm emalia jadwab., ilość zwojów 60 — dwie warstwy po 30. Cewka L_6

koszykowa o 200 zwojach. Cewkę dodatkowego oscylatora L_2 zrobimy najlepiej ze starego filtra podręcznej, o częstotliwości takiej jaką posiadamy w odbiorniku.

Konwerter zasilamy z napięcia anodowego odbiornika (zwykle między kłami w jednym gniazdkiem dodatkowego głośnika). Lampy konwertera zasilamy najlepiej z osobnego transformatora wzmacniowego. Przekrój rdzenia 4 cm² płaszczyzny 2400 zwojów 0,15 (220 V), wtórnie 20 zw. 0,7 ampera.

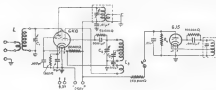
Uruchomienie i strojenie.

Odbiornik nastawiamy na częstotliwość około 1400 kc/s wybierając miejsce gdzie nie pracuje

plasko, dlatego kondensator C_1 umieszczamy oddzielnie.

W anodzie 6K8 włączony jest obwód, nastawiony na częst. podręczną (1400 — 1600 kc/s) wykonany podobnie jak w poprzednim konwerterze.

Dla umożliwienia odbioru stacji telegraficznych, zbudowano oscylator na lampie 6J5 na częstotliwość 1400 — 1600 kc. Cewka oscylatora nawinięta jest podobnie jak cewka obwodu podręcznej, z odstępem w odległości 1/2 zwojów od strony ziemi. Oscylator ten włączamy wyłącznikiem. Przy ostatecznym strojeniu ustalamy napięcie anodowe oscylatora dobraniem, oporu R_4 , tak by otrzymać odpowiedni ton. Za silny sygnał



Rys. 3

silna stacja i oznaczamy to miejsce na skali. Przy pracy z konwerterem zawsze musimy odbiornik na tę samą częstotliwość nastroić. Następnie staramy się odebrać konwerterem jakąkolwiek stację (najlepiej nadaje się do tego sygnałosektor) i podstrajamy rdzeniem cewkę L_2 na maksimum siły; włączamy wyłącznik i obracając rdzeń cewki L_2 staramy się otrzymać gwizd interferencyjny; w ten sposób możemy odbierać już stacje telegraficzne. W dalszym ciągu kontrolujemy czy mieścimy się w paśmie i ewentualnie doregulowujemy zerwaniem lub rozciąganiem zwojów cewki; gdy już oscylator jest wyrównany, regulujemy cewki obwodu wejściowego na maksimum siły.

Drugie rozwiązanie konwertera widzimy na rys. 3 i 4.

Dla odmiany zastosowano cewki wymienne dla każdego pasa. W stopień mechanicznym zastosowana jest trójdła — heksedra 6K8, której część trójdłowa pełni funkcję oscylatora.

Ponieważ najostrejszy stroj się oscylator, w jego obwodzie zastosowana jest rozciągająca piasa. Kondensator C_2 jest tak zwanym pasowym, a do strojenia w obrębie pasa służy kondensator 35 pF ze skalą. Obwód wejściowy stroj się dość

oscylatora przygłuszy stację odbierania, za słaby da zwór cichy gwizd; zwiększając opór R_4



Rys. 4.

powiększamy napięcie oscylatora a zarazem wielkość napięcia krychłozmiennego.

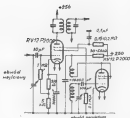
Cewki.

Cewki nawijamy na cylindry o średnicy 80 mm drutem 0,6 → 0,7 mm.

Tablica zwojów

Cewka	pas 80 m	40	20	10
L ₁	7	5	5	4
L ₂	45 miej próg zwoju	36 miej próg zwoju	14 1 = 30 mm	7 1 = 30 mm
L ₃	22 1-30 mm odstęp na 15 m. od ziemi	15 1-30 mm odstęp 7 m.	7 1 = 25 mm odstęp 3 m.	3 1-30 mm odstęp 1 m.
L ₄	4	4	8 poniżej zwoju L ₂	2 poniżej zwoju L ₂

Jak wspomnieliśmy, a dbyćmy skutkiem możemy użyć we wszystkich stopniach lampę RV 12 P 2000.



Rys. 5

Przy jej zastosowaniu, w stopniu mieszającym najlepiej jest włączyć napięcie lokalnego oscylatora na siatkę chwytos, jak to przedstawia rys. 5.

Wykaz lamp do odbiorników firmy Blaupunkt

Typ	Otworki makiety	Lampy	Dodatkowe dane
2 W 2	2 obw. 2 zokr.	RENS 1204 → AB1 — RES 964 — RGN 1094	46 w
2 W 17	1 obw. 2 zokr.	APT — AL4 — AZ1	53 w 110 — 1.2A 230 — 0.7 A 4v 0.5 A
3 W 4	4 obw. 2 zokr.	ACH1 — RENS 1304 — RES 964 RGN 1094	56 w
3 G 4	4 obw. 2 zokr.	BCH1 — RENS 1304 — BL2	55 w 58 110 v.
3 G 4	4 obw. 2 zokr.	BCH1 — RENS 1304 — BL2 Urdox	55 w na 230 v.
3 W 6	5 obw. 3 zokr.	ACH1 — RENS 1204 — AB1 — RES 964 — RGN 1094	68 w.
3 W 15	1 obw. 2 zokr.	AC2 — ACE — AL1 — AZ1	54 w.
3 G 15	1 obw. 2 zokr.	CC 2 — CC2 — CL2 — Urdox	54 w.
3 W 27	2 obw. 2 zokr.	APT — AB 2 — APT — AL4 — AZ1	60 w. 110 — 1 A 230 — 0.8 A 4v — 0.5 A
3 W 56	4 obw. 2 zokr.	AK 2 — APT — AB 2 — AL4 — AZ1	60 w.
4 LWH	8 obw. 3 zokr.	RENS 1204 — RENS 1234 — RENS 1204 — RES 964 — RGN 1094	55 w. na 110 v.
4 LGH	7 obw. 3 zokr.	RENS 1204 — RENS 1234 — RENS 1204 — RENS 1234 — Urdox	55 w. na 110 v.
4 LGH	7 obw. 3 zokr.	RENS 1204 — RENS 1234 — Urdox	55 w. na 110 v.
4 LWP	6 obw. 3 zokr.	RENS 1204 — RENS 1234 — RENS 1234 — RES 964 — RGN 1094	60 v.

Typ	Obwody zasilaczy	Lampy	Dodatkowe dane
4 LGP	6 obw. 2 zaskr.	RENS 1834 — RENS 1834 — RENS 1834 — RENS 1834 Urdox	30 w. na 110 v.
4 LGP	6 obw. 2 zaskr.	RENS 1834 — RENS 1834 RENS 1834 — RENS 1833 — Urdox	35 w. na 220 v.
4 G 6	6 obw. 2 zaskr.	ACH 1 — RENS 1834 — RENS 1834 RES 964 RGN 1044	40 w. na 110 v.
4 G 6	6 obw. 2 zaskr.	BCH 1 — RENS 1834 — RENS 1834 AL 2 — Urdox	50 w. na 220 v.
4 G 6	6 obw. 2 zaskr.	jak wyżej	55 w. na 110 v.
4 W 9	6 obw. 2 zaskr.	ACH 1 — RENS 1834 — AB 1 — RENS 1834 — RES 964 — RGN 1044	70 w.
4 W 18	2 obw. 2 zaskr.	AF 3 — AF 3 — AL 4 — AZ 1	58 w. D — 0,8 A Z — 4 v. — 0,8 A
4 GW 18	2 obw. 2 zaskr.	CF 3 — CF 3 — CL 4 — AZ 1 Urdox	30 — 45 w. — urdax U 2410 B — 0,7 A Z — 6,3 — 0,8 A
4 W 28	2 obw. 2 zaskr.	EBF 11 — ECL 11 — AZ 11	27 w. Urdox U 2410 B — 0,4 A Z — 13 v. — 0,1 A
4 OW 28	2 obw. 2 zaskr.	UBF 11 — UCL 11 — UV 11	55 w.
4 W 55	4 obw. 2 zaskr.	ACH 1 — AH 1 — AB 2 — AC 2 — AL 1 — AZ 1	2 urdaxy pok. 468/473 ke
4 GW 55	6 obw. 2 zaskr.	CK 1 — CH 1 — CB 2 — CC 2 — CL 4 — CY 1	54 w. pok. 468/473 ke. 58 w. 2 urdaxy pok. 468/473 ke
4 W 65	6 obw. 2 zaskr.	ACH 1 — AH 1 — AB 2 — AF 7 — AL 1 — AZ 1	70 w. pok. 468/473 ke
4 GW 65	6 obw. 2 zaskr.	CH 1 — CH 1 — CB 2 — CF 7 — CL 2 — CY 1	83 w.
4 W 88	4 obw. 2 zaskr.	AK 2 — AH 1 — AB 2 — AC 2 — AL 1 — AZ 1	68 w. z klasycznymi. pok. 468,473 ke
4 W 88 AL4	6 obw. 2 zaskr.	AK 2 — AH 1 — AB 2 — AC 2 — AL 1 — AZ 1	70 w. z klasycznymi
4 W 88 K	6 obw. 2 zaskr.	ACH 1 — AH 1 — AB 2 — AC 2 — AL 1 — AZ 1	70 w. z klasycznymi
4 W 88 K AL 4	6 obw. 2 zaskr.	ACH 1 — AH 1 — AB 2 — AC 2 — AL 4 — AZ 1	68 w. B — 4 — 0,8 A Z — 4 v. — 0,8 A
4 W 87	6 obw. 2 zaskr.	AK 2 — AF 3 — ABC 1 — AL 4 — AZ 1	33 — 87 w. Z — 18 v. — 0,2 A Urdox # 2020
4 GW 87	6 obw. 2 zaskr.	CK 1 — CF 3 — CBC 1 — CL 4 — (AZ 1 zm.)	90 w. B — 2x 0,8 A Z — 12 v. — 0,2 A Urdox EU XII — XX
4 GW 87 K	6 obw. 2 zaskr.	CK 1 — CF 3 — CBC 1 — CL 4 — CY 1	64 w. pok. 468/473 ke 70 w. 6 klasyczny pok. 468/473 ke
4 W 87 MK	4 obw. 2 zaskr.	AK 2 — AF 3 — AB 2 — AM 2 — AL 4 — AZ 1	57 w. 110 — 1 A 220 — 0,8 A Z — 4 v. — 0,8 A
4 W 76	7 obw. 2 zaskr.	ACH 1 — AH 1 — AB 2 — AF 7 — AL 4 — AZ 1	74 w. pok. 468/473 ke 84 w. B — 0,8 A Z — 4 v. — 0,8 A
4 W 77	6 obw. 2 zaskr.	ACH 1 — AF 3 — AB 2 — AM 2 — AL 4 — AZ 1	70 w.
4 W 85	3 obw. 2 zaskr.	AH 1 — AH 1 — AC 2 — AB 2 — AF 7 — AL 1 — AZ 1	74 w. pok. 468/473 ke
5 W 88	6 obw. 2 zaskr.	AK 2 — AF 3 — ABC 1 — AL 4 — AZ 1	84 w. B — 0,8 A Z — 4 v. — 0,8 A
5 GW 88	6 obw. 2 zaskr.	CK 1 — CF 3 — CBC 1 — CL 4 — AZ 1 Urdox	70 w.
5 W 89	6 obw. 2 zaskr.	ECH 11 — UBF 11 — (EBF 11) — ECL 11 — AZ 11	88 w. — U 2410 B — 0,7 A Z — 6,3 — 0,3 A

Typ	Obwody zakreśły	Lampy	Dodatkowe dane
5 W 60 K	6 obw. 2 zokr.	ECH 11 — EBF 11 — ECL 11 — AZ 11	z Klawiarni 37 — 42 w. U 2450 B — 0,4 A Z — 18 v. — 0,1 A 4v — 5,6 A B — 10 A Z — 6v — 1,2 A 12v — 2,5 A B — 5 A Z — 12v — 1,5 w. z karetką 69 w. 110 — 0,7 A Z20 — 1,2 A Z — 4v — 0,8 A 4v — 0,8 A 78 w. Dk. 468/478 kc 77 w. Dk. 468/478 kc
5 GW 60	6 obw. 2 zokr.	UCH 11 — UBF 11 — UCL 11 — UY 11	
5 A 76 Auto	7 obw. 1 zokr. (średnio)	EP 3 — EK 1 — EP 1 — EBC 1 — EL 1 — EZ 1	
5 A 76 Auto na 12v.	7 obw. 1 zokr. (średnio)	CF 3 — CK 1 — CF 7 — CBC 1 — CL 1 — FZ 1	
5 W 77	7 obw. 3 zokr.	ACH 1 — AF 3 — AF 3 — ABC 1 — AL 4 — AZ 1	
5 W 78 E	7 obw. 2 zokr.	AF 3 — ACH 1 — AF 3 — ABC 1 AL 4 — AZ 1	
5 W 88	7 obw. 4 zokr. 2 krótkie	AH 1 — AH 1 — AC 2 — AH 1 — AB 2 — AF 7 — AL 4 — AZ 1	
5 W 88 S	7 obw. 4 zokr. 2 krótkie	AH 1 — AH 1 — AC 2 — AH 1 AB 2 — AF 7 — AL 4 — AZ 1	
5 W 89	6 obw. 3 zokr.	ECH 11 — EBF 11 ECL 11 — AZ 11	
5 GW 89	6 obw. 3 zokr.	UCH 11 — UBF 11 — UCL 11 — UY 11 — Udfos	
5 W 89 I	6 obw. 3 zokr.	ECH 11 — EBF 11 ECL 11 EM 11 — AZ 11	
5 D 88 WK	6 obw. 3 zokr.	KK 2 — KP 3 — KB 2 — KP 4 — KC 2 — KDD 1	
5 W 89 II	6 obw. 3 zokr.	ACH 1 — AF 3 — AF 2 — AM 3 — AL 4 — AZ 1	
5 W 89 P	6 obw. 3 zokr.	DCH 11 — DF 11 — DAF 11 — DC 11 DDD 11	
5 D 89/40	6 obw. 3 zokr.	KK 3 — KP 3 — KP 4 — KB 2 — KDD 1 — KC 2	
5 D 89	6 obw. 3 zokr.		

Odpowiedzi Redakcji

Jędrzejczyk Michał, Radomsko. — Teoretyczne podstawy rachunkowe dla obliczania właściwego rodzaju cewek znalazł Pan w Nr. 4—5 mies. z 1946 r. w artykułach p. t. „Obliczanie obwodów rezonansowych” i „Wzmocnienie wys. czułościowej”, a także w numerach bieżących w artykule p. t. „Obliczanie odbiorników i wzmacniaczy”. Dla utrzymania stałej czułościowej kwaru musi być zachowana jednolita temperatura, w jakiej on pracuje. Do tego celu służy termistor, w którym zmienia się skład, mogący zmniejszyć swoje właściwości pod wpływem zmiany temperatury. W naszym termistorze jest więc pomieszczeniem, izolującym od wpływów zewnętrznych. Lampa pracuje w klasie „A”, gdy punkt pracy, wyznaczony przez ujemne przedpięcie statki łączy w środku prostoliniowej części jej charakterystyki. W klasie „B” punkt ten jest tak dobrany, że gdy lampa nie jest wzbudzona, prąd anodowy przez nią nie płynie wcale, jest bardzo mały, ujemne przedpięcie wyznacza punkt pracy na dolnym zakrzywieniu charakterystyki. W klasie „C” punkt pracy odpowiada ujemnemu przedpięciu o wartości

przynajmniej podwójnej niż w klasie „B”. Daje to możliwość przybliżenia do statki dużych napięć sterujących i osiągnięcia dużej sprawności. W klasie „B” stopień katodowy ma skład przeciwny, co pozwala na uniknięcie niekorzystnych. Klasa „C” stosowana jest wyłącznie we wzmocnieniach rezonansowych.

Czerwik Zofia, Kraków. — Podajemy dane transformatora międzylampowego i wyjściowego dla wzmacniacza pracującego w klasie „B” z lampami KC3 sterowania, KDD1 wyjścia. Transformator międzylampowy na rdzeniu o przekroju 2 cm² ma mieć: uzwojenie pierwotne: Z₁ = 9000 zw, drut o średnicy d₁ = 0,88 mm, uzwojenie wtórne: Z₂ = 2 × 10.000 zw, drut o średnicy d₂ = 0,05 mm. Uzwojenie należy wykonać w dwóch okalajach. Transformator wyjściowy na rdzeniu o przekroju 3,4 cm² ma mieć: Z₁ = 2 × 2750 zw, Z₂ = 120 zw, d₁ = 0,25 mm, d₂ = 0,5 mm.

Wolszaniecki Jerzy, Łódź. — W signalizatorze z Nr. 1 mies. z 46 r. można użyć jakkolwiek transformatora międzylampowego. Może nim być np. transformator na rdzeniu o przekroju 3,5 cm², uzwojenie pierwotne

$Z_1 = 3000$ Ω , $d_2 = 0.88$ mm, uwężnienie wtórne $Z_2 = 20000$ Ω , $d_1 = 0.85$ mm. Długość naklejki częściowej: o indukcyjności ok. 1315 na rdzeniu 8,3 cm² powiatu miał ok. 3000 Ω , z grubości 0,2 mm. — Różnica pomiaru stałego głębokości dynamicznego można namagnesować przy pomocy silnej magnetyczności, którą może być dany elektromagnes. Magnetyzacja wydane do tego celu mają naklejkę znaczone wymiary (1 m. wysokości). Cewki wysyłkowe z jednego oddziału mogą być zastąpione w innym, jeżeli chodzi o opór na tej samej klasy. Transformator międzyimpulsowy w supermagnetyzacji transformatorze pośredniej częściowej na rdzeniu „E” posiada: 500 Ω , 350 Ω , dla 120 Ω oraz 100 Ω , 150 Ω , dla 400 Ω . Sekcje podłoża/ochrony: postępują: Wyższe elektryczne półprzewodniki, oraz wyższe elektr. Skończył Indymilski (m. Waselberga) i Rostand; i szkoły Inż. w Poznaniu.

[illegible]

Drożej Tidessa, Rytm — Podaliśmy dane interesujące dla Pana lampy: $I_{max} = 58^{\circ}$ podwójna trioda ma: $V_1 = 2 \text{ kV}$; $V_2 = 2 \text{ kV}$; $V_3 = 950 \text{ V}$; $I_1 = 60 \text{ mA}$; $I_2 = 50 \text{ mA}$ prostokątna dwukierunkowa, 58° ma: $V_1 = 5 \text{ kV}$; $I_1 = 70 \text{ mA}$; $V_2 = 2 = 300 \text{ V}$; $I_{max} = 240 \text{ mA}$; lampa gładziowa 80 ma: $V_1 = 6,3 \text{ kV}$; $I_1 = 0,8 \text{ A}$; $V_2 = 250 \text{ V}$; $I_2 = 32 \text{ mA}$; $V_3 = - 90 \text{ V}$, — 5500 L. Lampy (P) odpowiada lampie emerykacji 6LA.

Szwarc Bronisław, Poznań. — Transformator wydłowy dla lampy EL5 na wydzie 100 omów, wykonany na rdzeniu o przekroju 9 cm² powierzone miedzi po stronie pierwotnej 2500 zwój, wykonanych z drutu 0,2 mm, po stronie wtórnej 30 zw. z drutu 0,5 mm. Do aparatury, o krótkim Pien zapłytku, rodzina zastawony cewki z jalekopolizowisk supowa, posiadającego 2 transformatorów pośredniej rozdzielności.

Smutana Józef, Kraków — Najniebezpiecznym przestępstwem, mającym ciągle zastosowanie w wicekradzieństwie elektrycznym jest wotampowanie się na przedstole napięciem, podłączając zakresy od 0,1 — 500 woltów do lma — lma. Przestępca taki przy odpowiednio wyrobowanej szklanej płytce może pomiaru wartości oporności. Do pomiaru pojemności kondensatorów należy użyć specjalny przyrząd oznaczony w Nr. 4 mia. z. r. r. d.

T. A. Cegielska — W liście swoim nie podaje Pan konkretnych danych. Po wysłaniu ich sformułowa-

będący mogli udzielić badanych wyjaśnień w sprawie interesującego Parm schematu.

***Wilczyński A. Też —** Proba transformatorów i diawtorów nakiel! encyklopedii została niedogłębioną omówioną w m.in. „Radio” z 1946 r. (numery: 2, 3, 4-6, 8). Transformator porównajemy do dwukierunkowego przenośnika. Wykazuje dwa jednokierunkowe ujęciowania analogowe w odróżnieniu od transform. jednocierunkowego, który posiada tylko jedno takie ujęciowanie. Periodek RL2P30 można zastosować jako lampę wydzielającą w słynnym wzmacniaczu. Dane tej lampy podaliśmy w numerze 2 m.in. z r. w. 1946.

Kosowski Wiesław, Wilanów 2/Warszawa -- Prosty sposób obliczania cewek na różnych rdzeniach: 30 różnych typów odkształceń podany został w Nr. 6 mies. 2 47 r. Cewki zespoły krótkofalowego na rdzeniu K, wykonane z drutu 0,5 mm w bawleń lub jedwabiu powinną posiadać: antenowe 2 zwoje, sławkowe 2 zwoje, rezonans. 9 zwoj.

Latka Zdzisław, Łódź — Odbornik produkcyjny
AEG-UL, polska i obcokrajowa, przystosowa-
na lampy. RZESZÓW, RZESZÓW, RZESZÓW,
BON 2004. Tak samo jak w poprzednich
dokładach można wyznaczyć wielkość lamp. Polimery
konduktorskie poddawane są w płaszczyźnie i w ni-
krodrodach. Polimery Cu i C_{60} można skrozić ma-
licznie i ich pracę w aparacie. Sposób wykonania
wielkości do 1000 można być różny: opór lub po-
mocność. W 1000 pomiarów i gniazda tworzą
zadania, aplikacje i wtryski. Wtryski, reakcje, reakcje
sowny. Opisy czołowej pracy i ich obliczenia zni-
żają Pow w Nr. 8, czołowej, z r. ub.

Stukowski Mirosław, Beta 2/Czerwona — Lampy Selenia 40/3,5 i 30/1 nie słusz. W signalizatorze z Nr. 1 m.in. z 1946 r. może pracować lampy KXC2 na miejscu selenowanej lampy 6A8 po zmianie napięcia bazowego.

Sokółowski Stanisław, Białystok — Wyseki pominięto zakładać na zakreślenie długodziejowy jest zjawiskiem normalnym Góli, surowy nie pochodzi z lamp, kondensatory lub spowodzi. Odpowiedzialność za zakreślenie zjawisk z winy urządzeń elektrycznych nie jest obecnie wzięto pod uwagę konkretnie formy prawne. Prawdopodobnie jest rodzajem wolności umysłowej i ich źródła po porozumieniu się z władzami urzędami śledzącymi. Proszę wyrażenia zakreślenie podajemy w Nr. 4-5 m. 2, s. 46.

Możkowski Wiktor, Warszawa — W odbiorniku baterijnym z Nr. 3 mies. 1 z. ub. mogą być zastosowane wszystkie 3 wyrocznice przez Pasa lamp sześcienne, a mianowicie: C0341, 5H342 i 5B354. Inne z podanych lamp mogą pracować w odbiorniku biokierowym. Adapter należy wybrać między słowik i masę pierzawej lampy wewnątrz, między przystawkami.

Rożński Władysław, Bielskie — Dla uzyskania dużej mocy ze wzmacniacza należy w stopniu wyjściowym użyć lampy, dającej odpowiadającą moc prądu zmiennego. Z typów wojskowych do tego celu nadaje się lampka RL1P24 lub RL1P23 630 V, nag. anodowej. Dla wystrojenia tych lamp można użyć dwa lampy V1P2300 w układzie wzmacniacza niskiej częstotliwości.

[illegible]

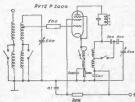
STACJA OBSŁUGI

radioaparatów **AGA**
i innych wykonuje precy-
zyjne naprawy. Dla za-
miejszczających załatwiamy
wszelkie zakupy wyciągając
za zaliczeniem.

Warszawa 22 ul. Kaliska 22

J. Bołłski, Pulawy i inni, którzy interesowali się schematem Nr. 11 w § nr. „Radio” 1947.

W schemacie nr. 11 widzi się błąd, mianowicie anoda lampy pierwszej nie otrzymuje napięcia sieciowego. Poprawny schemat układu lampy pierwszej przedstawiamy poniżej.



Układ oczyszczający mieszający na jednej pentodzie na krótkich falach nie pracuje zadowalająco, dlatego się go nie stosuje.

Radiowo użył dwu oddzielnych lamp RV na stopień mieszający i oczyszcz. (patrz Kacik Krótkofalowy).

Grzanowski Antoni, Opalenica. — Dla uzyskania dostatecznie wysokiego napięcia sieciowego z kulturowego zespołu akumulatorów potrzebny jest wibrator z transformatorem, urządzenie takie pobiera za godzinę duży prąd (średnio 1A) tak, że zasilanie z akumulatorów o niewielkiej pojemności (30-25A/godz.) wymagałoby częstego ładowania.

Kucibłoch Stanisław, Gliwice. — Lampa ECH82 posiada układ taki, jak ECH8. Poszczególne wyprowadzenia lampy nie posiadające cokołu, można zidentyfikować na drodze eksperymentalnej, przykładając do poszczególnych drutów łączące się lampy napięcie małe (nie mniej niż 40 woltów) z miliamperomierzem. W wypadku drutu łączącego się z anodą prąd przepadnie popłynię prądu. Dotykając ręką do siatki powstanie wywołanie ruszy wskazówka.

Tarcza stroboskopowa

Ustalenie ilości obrotów płyt gramofonowych

Przy odtwarzaniu z płyt gramofonowych, ilość obrotów płyty musi być równa obrotom przy nagrywaniu. Normalna ilość obrotów wynosi 78 obr./min. Przy mniejszej ilości obrotów barwa tonu wypada za niską, przy większych obrotach za wysoką i przez to niestandardnie. Jeżeli na przykład ilość obrotów zmienia się na 70, wtedy ton „a” (435 c/s) brzmi jak ton „g”. Szczególnie nieprzyjemnie uwydatnia się zmiana obrotów przy śpiewie, ponieważ barwa założy od tworzących, które nie są bynajmniej wielokrotnościami podstawowego tonu.

Sprawdzenie ilości obrotów taśmy można dokonać np. przez liczenie obrotów w określonym czasie. Jeżeli ma się do dyspozycji prąd zmienny, stosuje się metodę stroboskopową. Między innymi przy prądzie zmiennym żarówka zmieniając jasność 100 razy na sekundę (przy sieci 50 okresowej), zaś żarówka neonowa tyle razy gaśnie. Jeżeli teraz na obracającej się płycie użyjemy tarczy z czarnymi paskami i oświetlimy ją żarówką, lub lepiej neonową, wtedy przy określonej ilości obrotów otrzymamy wrażenie, że paski na tarczy są nieruchome. Przy mniej-

szych lub większych obrotach paski będą się przesuwały w jednym lub drugim kierunku. Wrażenie, że paski są nieruchome, ma miejsce wtedy, gdy w jednej setnej sekundy jeden pasek przemieści się na miejsce sąsiednie. Ponieważ przy 78 obr./min. płyta obróci się $78/60 = 1,3$ razy w sekundzie i w tym czasie lampka 100 razy się zaświeci, wobec tego tarcza stroboskopowa musi posiadać $100/1,3 = 77$ czarnych i białych pasków. Wzór matematyczny określający ilość pasków, w zależności od obrotów i częstotliwości ma postać następującą:

$$N = \frac{2 \cdot f \cdot 60}{n}$$

gdzie N — ilość pasków
 f — częstotliwość sieci zasilającej
 n — ilość obrotów

$$\text{dla } f = 50 \text{ c/s } n = 78 \text{ obr./min. } N = \frac{6000}{78} = 77$$

Dla ułatwienia, w urządzeniach do nagrywania, czarne paski są namalowane na pobocznicach tarczy.

Redaguje Emiliet

Wydawca: Biuro Wydawnictw P. R.

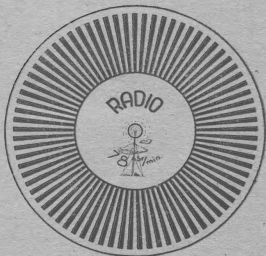
Adres Redakcji i Administracji: Warszawa, Nowowiejskiego 26.

Warunki prenumeraty: Półrocznie wraz z przesyłką pocztową zł. 240. Prenumerata należy wpłacać na konto czekowe w PKO Nr 1-330 „Radio i Świat”. Na odrocenie Mankiela zadawanego należy zamierzyć: prenumerata miesięcznika „Radio”. Cena pojedynczego egzemplarza zł. 30.—

Ceny ogłoszeń: na okładce i kol. — 8.000 zł., 1/4 kol. — 6.000 zł., 1/2 kol. — 4.000 zł., 3/4 kol. — 2.000 zł., w tekście zł. 50 za 1 mm szer. 1 szpalty.

Druk: MCM Stron. Łódź. W-wa

B-45600



TARCZA STROBOSKOPOWA